

# Modèle de rupture pour la loi de Weibull sur des données du CAC 40

Groupe 1

**Ikrame BOULIF, Mohammed Amine BOUKIR, Souhayla HEDRI, Qian LIU, Bealy MECH, Arian NAJAFY ABRANDABADY, Nada NASLOUBY, Adrien NAVARRO, Abdelouahab ZAARI**



18 Avril 2022

Séries Temporelles - Modélisation statistique Master 1 -  
Mathématiques Appliquées

# Table des matières

<b>1</b>	<b>Introduction</b>	<b>4</b>
<b>2</b>	<b>Statistiques</b>	<b>5</b>
2.1	Loi de Weibull . . . . .	5
2.2	Méthode du maximum de vraisemblance . . . . .	6
2.3	Méthode analytique . . . . .	7
2.3.1	Estimation des paramètres du modèle linéaire simple . . . . .	7
2.3.2	Estimation des paramètres de la loi de Weibull . . . . .	8
2.4	Tests de Kolmogorov Smirnov d'homogénéité . . . . .	9
2.4.1	Présentation théorique du test . . . . .	9
2.4.2	Cas pratique du test . . . . .	12
<b>3</b>	<b>Application sur les données CAC 40</b>	<b>14</b>
3.1	Résultats . . . . .	14
3.1.1	Méthode théorique . . . . .	14
3.1.2	Méthode analytique . . . . .	15
3.2	Graphiques . . . . .	16
3.2.1	AC.PA . . . . .	16
3.2.2	ACA.PA . . . . .	17
3.2.3	AI.PA . . . . .	17
3.2.4	AIR.PA . . . . .	18
3.2.5	ALO.PA . . . . .	18
3.2.6	BN.PA . . . . .	19
3.2.7	BNP.PA . . . . .	19
3.2.8	CA.PA . . . . .	20
3.2.9	CAP.PA . . . . .	20
3.2.10	COFA.PA . . . . .	21
3.2.11	CS.PA . . . . .	21
3.2.12	DG.PA . . . . .	22
3.2.13	DGM.PA . . . . .	22
3.2.14	EDF.PA . . . . .	23
3.2.15	EN.PA . . . . .	23
3.2.16	GLE.PA . . . . .	24
3.2.17	HCMLF.PA . . . . .	24
3.2.18	HO.PA . . . . .	25
3.2.19	IDL.PA . . . . .	25
3.2.20	IPN.PA . . . . .	26

3.2.21	KER.PA . . . . .	27
3.2.22	LR.PA . . . . .	27
3.2.23	MC.PA . . . . .	28
3.2.24	ML.PA . . . . .	28
3.2.25	OR.PA . . . . .	29
3.2.26	ORA.PA . . . . .	29
3.2.27	PUB.PA . . . . .	30
3.2.28	RI.PA . . . . .	31
3.2.29	RNO.PA . . . . .	31
3.2.30	SAF.PA . . . . .	32
3.2.31	SAN.PA . . . . .	32
3.2.32	SEV.PA . . . . .	33
3.2.33	SGO.PA . . . . .	33
3.2.34	SU.PA . . . . .	34
3.2.35	TTE.PA . . . . .	35
3.2.36	VIE.PA . . . . .	35
3.2.37	VIV.PA . . . . .	36
3.2.38	VK.PA . . . . .	36
<b>4</b>	<b>Conclusion et Perspectives</b>	<b>37</b>
<b>A</b>	<b>Annexe : Codes</b>	<b>39</b>
A.1	Modèle de détection de ruptures . . . . .	39
A.2	Test de Kolmogorov-Smirnov . . . . .	44

---

## Résumé

Dans cette étude, nous nous intéressons au comportement d'un modèle logarithmique pour la loi de Weibull appliqué sur des données financières de l'indice français du CAC 40. Tout d'abord, notre but est de détecter le point pour lequel le modèle tend à changer sa loi de distribution. On appelle ce point le point de rupture. Puis, nous réalisons un test de Kolmogorov-Smirnov pour vérifier la pertinence du modèle établi sur nos données, c'est-à-dire voir s'il existe une rupture significative dans la loi du modèle ou non. Pour ce faire, nous proposons deux méthodes, la première repose sur la maximisation du log vraisemblance et la deuxième est une méthode analytique qui consiste à linéariser la fonction de répartition de la loi de Weibull.

**Mots-clés :** Loi de Weibull, Détection de la rupture, point de rupture, Modèle l'algorithmique, Test de Kolmogorov-Smirnov .

---

## 1 Introduction

Les modèles de rupture ont été étudiés pour identifier un changement dans la probabilité de distribution d'un processus stochastique ou d'une série temporelle. Autrement dit, pour une séquence donnée de variables aléatoires  $(X_i)_{0 \leq i \leq n}$ , nous essayons de trouver un point de rupture  $k$  où les éléments  $X_1, \dots, X_k$  ont une fonction de distribution identique  $f_1$  et les éléments  $X_{k+1}, \dots, X_n$  sont distribués selon une autre densité de probabilité  $f_2$ .

Dans les données du CAC 40, ils existent plusieurs entreprises dont la valeur ajustée à la clôture  $X_t$  de ses actions contribue dans le calcul de cet indice. Notamment, nous voulons étudier le comportement de :

$$Y_t = \log \left( 1 + \frac{X_t}{X_{t-1}} \right) \quad (1)$$

Soit alors  $n$  le nombre des observations  $X_i$  de chaque entreprise. La relation entre  $X$  et  $Y$  est décrite par l'équation (1), où la distribution de  $Y$  change de structure après un point de rupture  $k \in \{4, \dots, n-4\}$ . Cette restriction sur  $k$  est nécessaire pour s'assurer que les paramètres du modèle sont estimables. Le modèle de rupture est donné alors par :

$$\begin{cases} Y_t \sim W(a_1, b_1) & t \leq k \\ Y_t \sim W(a_2, b_2) & t > k \end{cases} \quad (2)$$

tels que :  $a_1, b_1, a_2, b_2$  sont les paramètres du modèle de rupture de la loi de Weibull, et  $k$  est le point de changement.

## 2 Statistiques

### 2.1 Loi de Weibull

La loi Weibull à deux paramètres est une loi de probabilité qui a été largement utilisée comme modèle probabiliste dans des études sur les temps de survie, on peut définir sa densité comme suit :

$$f(x, a, b) = \frac{b x^{b-1}}{a^b} \exp\left(-\left(\frac{x}{a}\right)^b\right), \quad x > 0, \quad a > 0, \quad b > 0$$

On sait que chaque densité d'une loi est définie par une fonction de répartition, c'est la cas pour le modèle de Weibull, sa fonction de répartition est définie comme suit :

$$F(x, a, b) = 1 - \exp\left(-\left(\frac{x}{a}\right)^b\right)$$

On peut concevoir que la fonction de répartition dépend aussi des paramètres  $a$ ,  $b$  de la fonction densité de Weibull. Ainsi pour avoir une bonne illustration de cette loi, qui nous sera utile dans la partie de modélisation, on fait varier le paramètre ( $a$ ) et on garde le deuxième paramètre ( $b$ ) constant dans le graphe de la fonction de densité ci-dessous :

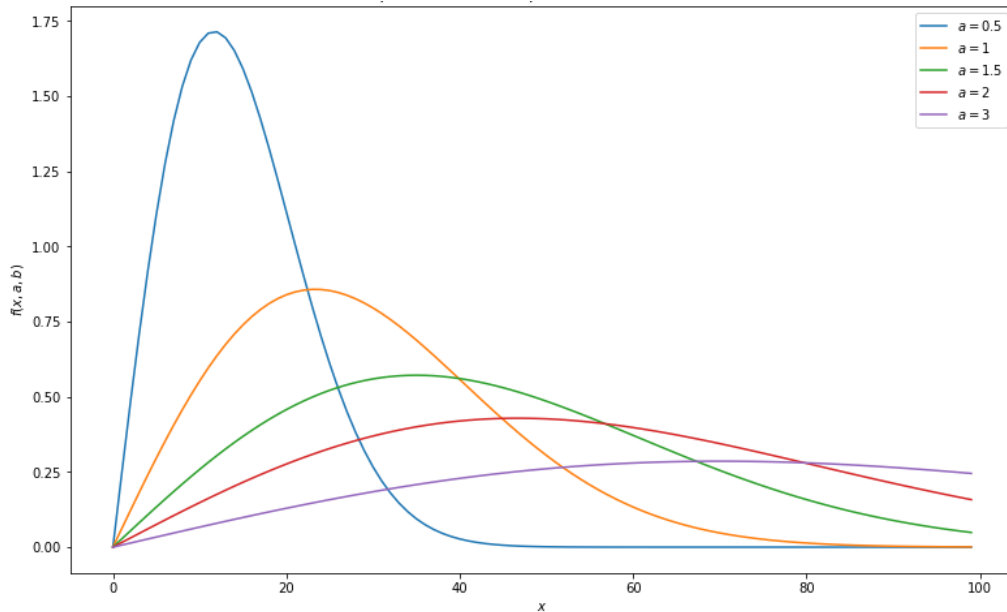


FIGURE 1 – Les densité de probabilité de la loi de Weibull pour différentes valeurs de  $a$  et  $b = 2$

On peut bien analyser d'après la figure 1 que plus on augmente la valeur  $a$  de la fonction densité de Weibull plus la variance de la densité augmente ainsi pour  $a > 1$ , la densité de la loi de Weibull tend vers zéro à mesure que  $x$  augmente. Dans ce cas, elle n'admet qu'un seul mode qui tend rapidement vers  $b$  lorsque  $a$  tend vers l'infini.

Pour  $0 < a < 1$ , le mode est zéro et la densité est une fonction décroissante de  $x$  en tout point du domaine, donc finalement on converge vers une densité constante, alors on constate clairement que les paramètres de la fonction jouent un rôle sur la fonction densité du modèle, donc c'est la raison pour laquelle dans les parties suivantes on va s'intéresser à estimer ces paramètres par des méthodes statistiques d'estimations qui sont bien définies.

## 2.2 Méthode du maximum de vraisemblance

(cf. partie 2 de l'article [1])

La première méthode pour notre modèle (2) que nous proposons pour estimer les paramètres de la loi de Weibull, repose sur le maximum de vraisemblance.

Soit  $\underline{x} = (x_1, \dots, x_n)$

La fonction de vraisemblance s'écrit :

$$L(\underline{x}, \theta) = \prod_{i=1}^k f(x_i, \theta) = \prod_{i=1}^k f_1(x_i, \theta) \cdot \prod_{i=k+1}^n f_2(x_i, \theta) \quad (3)$$

On définit alors la log vraisemblance par :

$$l(\underline{x}, \theta) = \log(L(\underline{x}, \theta)) = \sum_{i=1}^k \log(f_1(x_i, \theta)) + \sum_{i=k+1}^n \log(f_2(x_i, \theta)) \quad (4)$$

telles que  $f_1$  et  $f_2$  sont les fonctions densité de probabilités des lois  $W(a_1, b_1)$  et  $W(a_2, b_2)$  respectivement :

$$f_1(x_i, \theta) = \frac{b_1 x_i^{b_1-1}}{b_1} \exp\left(-\left(\frac{x_i}{a_1}\right)^{b_1}\right)$$

et

$$f_2(x_i, \theta) = \frac{b_2 x_i^{b_2-1}}{b_2} \exp\left(-\left(\frac{x_i}{a_2}\right)^{b_2}\right)$$

On a donc :

$$-l(\underline{x}, \theta) = \sum_{i=1}^k \left(\frac{x_i}{a_1}\right)^{b_1} + \sum_{i=k+1}^n \left(\frac{x_i}{a_2}\right)^{b_2} - \sum_{i=1}^k \log\left(\frac{b_1 (x_i)^{b_1-1}}{a_1^{b_1}}\right) - \sum_{i=k+1}^n \log\left(\frac{b_2 (x_i)^{b_2-1}}{a_2^{b_2}}\right) \quad (5)$$

On cherche alors à estimer le vecteur des paramètres  $\theta = (a_1, b_1, a_2, b_2, k)$  par la méthode du maximum de vraisemblance.

L'idée est que pour chaque  $k \in \{4, \dots, n-4\}$ , on maximise le log vraisemblance correspondante. On récupère alors le vecteur  $(a_1^*, b_1^*, a_2^*, b_2^*)$  qui est le vecteur des estimateurs des paramètres de la loi de Weibull.

L'estimateur du point de rupture  $k$  s'obtient donc par :

$$k^* = \underset{k}{\operatorname{argmax}} l(\underline{x}, (a_1^*, b_1^*, a_2^*, b_2^*, k)) \quad (6)$$

$k_0$	échantillon <sub>1</sub> ( $k_0$ )	échantillon <sub>2</sub> ( $k_0$ )
4	$X_1, \dots, X_4$	$X_5, \dots, X_n$
5	$X_1, \dots, X_5$	$X_6, \dots, X_n$
$\vdots$	$\vdots$	$\vdots$
$n-4$	$X_1, \dots, X_{n-4}$	$X_{n-3}, \dots, X_n$

TABLE 1 – Répartition des données en deux échantillons

Vu que la résolution théorique de ce problème d'optimisation n'aboutit pas à des expressions analytiques des estimateurs, on a recours à la fonction "minimize" du module `scipy` du langage Python. Nous allons chercher à minimiser la quantité (5).

On a défini tout d'abord une fonction "log\_vraisemblance\_weibull" qui calcule la log vraisemblance de la loi de Weibull de paramètres  $(a_1, b_1)$  puis on a défini une autre fonction "log\_vraisemblance" qui prend en paramètre la rupture et applique la log vraisemblance précédente sur deux lois de Weibull de paramètres  $(a_1, b_1, a_2, b_2)$ . Et enfin on a défini la fonction "estimation" qui estime le moment de rupture ainsi que les quatre paramètres en fonction des données.

Le code Python est en annexe.

## 2.3 Méthode analytique

### 2.3.1 Estimation des paramètres du modèle linéaire simple

(cf partie 4 de l'article [1])

L'objectif dans cette méthode est d'étudier un modèle de rupture linéaire et puis de l'appliquer sur la loi de Weibull.

On considère un modèle de rupture pour une régression linéaire simple avec un seul point de changement.

Soit  $n$  couples d'observations  $(X_i, Y_i)$  telle que la relation entre  $X$  et  $Y$  est décrite par une régression linéaire simple et que la structure change après un certain point  $k \in \{4, \dots, n-4\}$ .

Donc, les observations  $(X_i, Y_i)$  suivent un certain modèle linéaire pour  $i \leq k$  et un autre modèle linéaire pour  $i > k$ .

Le modèle de rupture est donné alors par :

$$\begin{cases} Y_i = B_1 + A_1 h(X_i) + \epsilon_{1,i} & i = 1, \dots, k \\ Y_i = B_2 + A_2 h(X_i) + \epsilon_{1,i} & i = k+1, \dots, n \end{cases} \quad (7)$$

où  $A_j$  et  $B_j$  ( $j = 1, 2$ ), sont les inconnues du modèle de rupture, les  $\epsilon_{i,j}$  sont des erreurs indépendantes et  $h$  est une fonction connue.

Pour  $k_0$  dans  $\{4, \dots, n-4\}$ , on construit  $n-7$  deux échantillons comme suit :

Pour chaque  $k_0 \in \{4, \dots, n-4\}$ , on considère les modèles suivants :

$$\begin{cases} Y_i = B_1(k_0) + A_1(k_0)h(X_i) + \epsilon_{1,i}(k_0) & i = 1, \dots, k_0 \\ Y_i = B_2(k_0) + A_2(k_0)h(X_i) + \epsilon_{2,i}(k_0) & i = k_0 + 1, \dots, n \end{cases} \quad (8)$$

Pour chaque  $k_0 \in \{4, \dots, n-4\}$ ,  $A_1(k_0)$ ,  $B_1(k_0)$ ,  $A_2(k_0)$  et  $B_2(k_0)$ , on résout le problème de minimisation :

$$\min_{(A_1(k_0), B_1(k_0), A_2(k_0), B_2(k_0))} D(k_0, A_1(k_0), B_1(k_0), A_2(k_0), B_2(k_0))$$

où :

$$D(k_0, A_1(k_0), B_1(k_0), A_2(k_0), B_2(k_0)) = \sum_{i=1}^{k_0} \epsilon_{1,i}(k_0)^2 + \sum_{i=k_0+1}^n \epsilon_{2,i}(k_0)^2 \quad (9)$$

Tous calculs faits, on obtient les estimateurs de  $A_1(k_0)$ ,  $B_1(k_0)$ ,  $A_2(k_0)$  et  $B_2(k_0)$  :

$$\begin{cases} \hat{A}_1(k_0) = \frac{\sum_{i=1}^{k_0} (h(X_i) - \bar{h}_{k_0}(X)) (Y_i - \bar{Y}_{k_0})}{\sum_{i=1}^{k_0} (h(X_i) - \bar{h}_{k_0}(X))^2}, & \hat{B}_1(k_0) = \bar{Y}_{k_0} - \hat{A}_1(k_0) \bar{h}_{k_0}(X) \\ \hat{A}_2(k_0) = \frac{\sum_{i=1}^{k_0} (h(X_i) - \bar{h}_{k_0}^*(X)) (Y_i - \bar{Y}_{k_0}^*)}{\sum_{i=1}^{k_0} (h(X_i) - \bar{h}_{k_0}^*(X))^2}, & \hat{B}_2(k_0) = \bar{Y}_{k_0}^* - \hat{A}_2(k_0) \bar{h}_{k_0}^*(X) \end{cases} \quad (10)$$

où :

$$\begin{cases} \bar{h}_{k_0}(X) = \frac{1}{k_0} \sum_{i=1}^{k_0} h(X_i), & \bar{h}_{k_0}^*(X) = \frac{1}{n - k_0} \sum_{i=k_0+1}^n h(X_i) \\ \bar{Y}_{k_0} = \frac{1}{k_0} \sum_{i=1}^{k_0} Y_i, & \bar{Y}_{k_0}^* = \frac{1}{n - k_0} \sum_{i=k_0+1}^n Y_i \end{cases} \quad (11)$$

Posons  $D(k_0) = D(k_0, \hat{A}_1(k_0), \hat{B}_1(k_0), \hat{A}_2(k_0), \hat{B}_2(k_0))$  et

$$k^* = \underset{k_0}{\operatorname{argmin}} D(k_0) \quad (12)$$

De l'équation (10), on déduit les estimateurs de  $A_1(k_0)$ ,  $B_1(k_0)$ ,  $A_2(k_0)$  et  $B_2(k_0)$  :

$$\hat{A}_1 = \hat{A}_1(k^*), \hat{B}_1 = \hat{B}_1(k^*), \hat{A}_2 = \hat{A}_2(k^*), \hat{B}_2 = \hat{B}_2(k^*) \quad (13)$$

et le point de changement est estimé alors par :

$$\hat{k} = \text{taille de } \text{echantillon}_1(k^*) \quad (14)$$

### 2.3.2 Estimation des paramètres de la loi de Weibull

Dans cette partie, notre objectif est d'estimer les paramètres  $(a, b)$  de la distribution de Weibull présentée dans la partie 2.1 et qu'on note  $W(a, b)$ .

Nous assumons avoir une séquence d'observations  $Y_1, \dots, Y_n$  dont la distribution représente une rupture selon le modèle (2).



$k_0$	échantillon <sub>1</sub> ( $k_0$ ordonné)	échantillon <sub>2</sub> ( $k_0$ ordonné)
4	$X_1^{(1)}, \dots, X_1^{(4)}$	$X_2^{(1)}, \dots, X_2^{(n-4)}$
5	$X_1^{(1)}, \dots, X_1^{(5)}$	$X_2^{(1)}, \dots, X_2^{(n-5)}$
$\vdots$	$\vdots$	$\vdots$
$n-4$	$X_1^{(1)}, \dots, X_1^{(n-4)}$	$X_2^{(1)}, \dots, X_2^{(4)}$

TABLE 2 – Répartition des données en deux échantillons ordonnés.  $X_j^{(i)}$  représente le  $i$ -ème ordre statistique de l'échantillon<sub>1</sub>( $k_0$ ) ( $j = 1, 2$ ).

Pour chaque  $k_0 \in \{4, \dots, n-4\}$ , on construit  $n-7$  deux échantillons et on les ordonne comme représenté sur la Table 2.

On introduit deux grandeurs qui sont les approximations de **Bernard & Bosi-Levenbach** [5] pour les rangs médians :

$$\begin{cases} MR_1(i) = \frac{i-0.3}{k_0+0.4} & \text{pour } i \in 1, \dots, k \\ MR_2(i) = \frac{i-0.3}{n-k_0+0.4} & \text{pour } i \in k_0 + 1, \dots, n \end{cases} \quad (15)$$

La fonction de répartition de la loi de Weibull est alors transformée en une fonction linéaire :

$$\ln(-\ln(1 - F(x))) = b \ln(x) - b \ln(a)$$

Posons  $Y = \ln(-\ln(1 - F(x)))$ ,  $A = b$  et  $B = -b \ln(a)$ .

Les rangs médians (15) vont nous permettre de déterminer le modèle de rupture :

$$\begin{cases} Y_i = \ln(-\ln(1 - MR_1(i))) & \text{pour } i \in 1, \dots, k_0 \\ Y_i = \ln(-\ln(1 - MR_2(i))) & \text{pour } i \in k_0 + 1, \dots, n \end{cases} \quad (16)$$

On va ensuite réaliser une régression linéaire pour déterminer les coefficients  $a_1, b_1, a_2, b_2$ . En effet, on peut écrire les  $Y_i'$  de la manière suivante :

$$\begin{cases} Y_i = B_1(k_0) + A_1(k_0) \ln(X_i) & \text{pour } i \in 1, \dots, k_0 \\ Y_i = B_2(k_0) + A_2(k_0) \ln(X_i) & \text{pour } i \in k_0 + 1, \dots, n \end{cases} \quad (17)$$

avec  $k_0$  le point de rupture.

D'après les équations (12), (13) et (14), on déduit les estimateurs des paramètres de la loi de Weibull  $a_1, b_1, a_2$  et  $b_2$  :

$$\left\{ \hat{a}_j = \exp \left( -\frac{\hat{B}_j(k^*)}{\hat{b}_j} \right), \hat{b}_j = \hat{A}_j(k^*), \quad j = 1, 2 \right. \quad (18)$$

## 2.4 Tests de Kolmogorov Smirnov d'homogénéité

### 2.4.1 Présentation théorique du test

(cf chapitre 4 du document [3])

Le test de Kolmogorov-Smirnov (K-S) est un test statistique standard pour décider si un ensemble de données est cohérent avec une distribution de probabilité donnée. Le test classique est unidimensionnel - chaque point de données est un nombre unique -.

Mais il existerait également un test KS à deux échantillons similaire, qui comporte deux ensembles de données au lieu d'un ensemble de données et d'un modèle (Fig.2). Celui-ci vérifie si deux ensembles de données sont tous deux tirés de la même distribution de probabilité sous-jacente, mais sans supposer de modèle spécifique pour cette distribution.

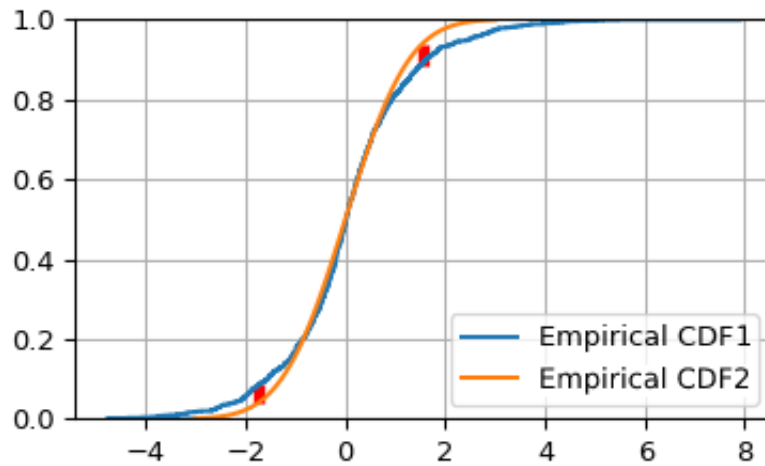


FIGURE 2 – Exemple du test de K-S d'homogénéité. Les lignes rouges sont les distances maximum des deux fonctions de répartition empiriques.

En pratique, le test K-S serait effectué avec un plus grand nombre de points de données dans chaque ensemble, pas moins d'ordre 10 ou 20.

Nous tenterons dans cette partie de présenter le test de Kolmogorov Smirnov d'homogénéité.

Nous considérons tout d'abord un  $n$ -échantillon  $(X_1, \dots, X_n)$  d'une variable aléatoire  $X$  et sa fonction de répartition qu'on notera  $F$ .

Nous avons donc :

$$\forall t \in \mathbb{R}, F(t) = \mathbb{P}(X \leq t) = \mathbb{P}(X_i \leq t)$$

Le but serait de tenter d'estimer  $F$  en introduisant la fonction de répartition empirique. Celle-ci associée à l'échantillon que nous venons de décrire s'écrit sous la forme :

$$\begin{aligned} \mathbb{R} &\rightarrow [0, 1] \\ t &\mapsto F_n(t) = \frac{1}{n} \sum_{i=1}^n \mathbb{1}_{\{X_i \leq t\}} \end{aligned}$$

La fonction  $F_n$  est une fonction en escalier, croissante, continue à droite et admettant une limite à gauche. Elle est également discontinue aux points  $(X_i)_1$  et constante sur  $[X_i, X_{i+1}]$  pour  $i \in 1, \dots, n-1$ . Elle est un estimateur naturel sans biais et fortement consistant de  $F(t)$ . Par ailleurs :

$$\forall t \in \mathbb{R}, \sqrt{n}(F_n(t) - F(t)) \xrightarrow[n \rightarrow +\infty]{\mathcal{L}} \mathcal{N}(0, F(t)(1 - F(t)))$$

Nous allons maintenant introduire le théorème de Glivenko-Cantelli.

En considérant une suite de variables aléatoires  $(X_i)_{i \geq 1}$  i.i.d. de fonction de répartition  $F$ , on pose :

$$\forall t \in \mathbb{R}, F_n(t) = \frac{1}{n} \sum_{i=1}^n \mathbb{1}_{\{X_i \leq t\}}$$

Alors on a :

$$\sup_{t \in \mathbb{R}} |F_n(t) - F(t)| \xrightarrow{p.s.} 0$$

Le théorème de Glivenko-Cantelli est une généralisation de la loi forte des grands nombres au cas non-paramétrique.

Nous donnons la généralisation du TCL dans ce qui suit. Tout en considérant un  $n$ -échantillon issu de  $X$  et en notant  $F$  la fonction de répartition de  $X$  ? et  $F_n$  la fonction de répartition empirique. Si  $F$  est continue, la loi de :

$$D(F_n, F) = \sup_{t \in \mathbb{R}} |F_n(t) - F(t)|$$

ne dépend pas de  $F$ .

La statistique introduite dans ce théorème nous permettra de construire un test d'ajustement à une loi (test de Kolmogorov). Dans le même esprit, nous arriverons aussi à construire un test d'homogénéité (test de Kolmogorov - Smirnov).

En nous basant sur la proposition précédente et en considérant les mêmes hypothèses que ci-dessus, nous pouvons déduire le théorème qui suit. Tel que tout en supposant que la variable aléatoire  $\sqrt{n}D(F_n, F)$  converge en loi, vers une loi limite qui ne dépend pas de  $F$  et dont la fonction de répartition s'écrira sous la forme :

$$\forall t \geq 0, F_{KS}(t) = 1 + 2 \sum_{k=1}^{+\infty} (-1)^k \exp(-2k^2 t^2)$$

On a donc, pour  $\lambda > 0$ ,

$$\mathbb{P}(\sqrt{n}D(F_n, F) \leq \lambda) \rightarrow 1 + 2 \sum_{k=1}^{+\infty} (-1)^k \exp(-2k^2 \lambda^2)$$

Ce théorème est admis.

Nous pouvons donc construire un test d'ajustement à une loi, dit test de Kolmogorov. On peut d'abord remarquer que si on réordonne de manière croissante l'échantillon,  $X_1, \dots, X_n$  alors  $F_n(X_j) = \frac{j}{n}$  et :

$$D(F_n, F) = \max_{1 \leq j \leq n} \max(|\frac{j}{n} - F(X_{(j)})|, |F(X_{(j)}) - \frac{j-1}{n}|)$$

Si on veut tester que la loi de l'échantillon a pour fonction de répartition  $F_0$ , c'est-à-dire  $H_0 : F = F_0$  contre  $H_1 : F \neq F_0$ , on commence par réordonner l'échantillon. Puis on calcule  $D(F_n, F)$ , en remarquant que sous  $H_0$ , on a  $D(F_n, F) = D(F_n, F_0)$ . Puis on cherche (dans une table) le quantile  $k_{1-\alpha}$  de la loi de Kolmogorov. On accepte alors  $H_0$  si  $D(F_n, F_0) < k_{1-\alpha}$ . Ce test est asymptotiquement de niveau  $\alpha$  et sa puissance tend vers 1 quand  $n$  tend vers  $+\infty$ .

Et dans le même esprit alors, nous allons construire un test d'homogénéité.

On observe deux échantillons de taille respective  $n$  et  $m$ ,  $(X_1, \dots, X_n)$  et  $(Y_1, \dots, Y_m)$ . On veut tester si les deux échantillons sont issus d'une même loi (éventuellement inconnue). On note  $F$  la fonction de répartition de chacune des variables  $X_i$  et  $G$  la fonction de répartition de chacune des variables  $Y_i$ . On veut tester  $H_0 : F = G$  contre  $H_1 : F \neq G$ . Pour cela, on introduit :

$$\forall t \in \mathbb{R}, F_n(t) = \frac{1}{n} \sum_{i=1}^n \mathbb{1}_{\{X_i \leq t\}}$$

et :

$$G_m(t) = \frac{1}{m} \sum_{i=1}^m \mathbb{1}_{\{Y_i \leq t\}}$$

et on pose :

$$D_{m,n} = \sup_{t \in \mathbb{R}} |F_n(t) - G_m(t)|$$

Par conséquent, avec les hypothèses ci-dessus et sous " $H_0 : F = G$ ", on a le résultat du théorème suivant :

$$\mathbb{P}(\sqrt{\frac{nm}{n+m}} D_{m,n} \leq \lambda) \rightarrow 1 + 2 \sum_{k=1}^{+\infty} (-1)^k e^{-(2k^2 \lambda^2)}$$

Ainsi ceci permet de construire un test sur le même modèle que ci-dessus.

## 2.4.2 Cas pratique du test

Notons les données brutes  $X_1 \ X_2 \ \dots \ X_n$  et  $Y_1 \ Y_2 \ \dots \ Y_m$ , séparées par la rupture à  $X_n$ .

Notons les données ordonnées  $X_{(1)} \ X_{(2)} \ \dots \ X_{(n)}$  et  $Y_{(1)} \ Y_{(2)} \ \dots \ Y_{(m)}$  pour  $X, Y$

Les données ordonnées peuvent être écrites comme :

$$X_{(1)} X_{(2)} Y_{(1)} X_{(3)} X_{(4)} Y_{(2)} \dots X_{(n)} Y_{(m-1)} Y_{(m)},$$

et on note leur valeurs comme :

$$t_1 \ t_2 \ t_3 \ t_4 \ t_5 \ t_6 \quad \dots \quad t_{n+m-1} \ t_{m+n}.$$

Pour chaque  $t_i$ , on peut calculer  $|F_n(t_i) - G_n(t_i)|$  avec

$$F_n(t_i) = P(X \leq t_i) = \frac{1}{n} \sum_{i=1}^n \mathbb{1}_{\{X_i \leq t_i\}}$$

et

$$G_n(t_i) = P(Y \leq t_i) = \frac{1}{m} \sum_{i=1}^m \mathbb{1}_{\{Y_i \leq t_i\}}$$

On a donc

$$D(t_i) = |F_n(t_i) - G_n(t_i)| = \left| \frac{1}{n} \sum_{i=1}^n \mathbb{1}_{\{X_i \leq t_i\}} - \frac{1}{m} \sum_{i=1}^m \mathbb{1}_{\{Y_i \leq t_i\}} \right|.$$

Par exemple ici,

$$D(t_1) = \left| \frac{1}{n} - 0 \right|$$

$$D(t_2) = \left| \frac{2}{n} - 0 \right|$$

$$D(t_3) = \left| \frac{2}{n} - \frac{1}{m} \right|$$

...

En effet, on a

$$D_{m,n}^{obs} = \sup_{t \in \mathbb{R}} |F_n(t) - G_n(t)|$$

En posant  $\lambda = \sqrt{\frac{nm}{n+m}} D_{m,n}^{obs}$ , on a donc

$$P\left(\sqrt{\frac{nm}{n+m}} D_{m,n} \leq \lambda\right) \longrightarrow 1 + 2 \sum_{k=1}^{+\infty} (-1)^k e^{-(2k^2 \lambda^2)}$$

Donc,

$$\text{p-value} = P\left(\sqrt{\frac{nm}{n+m}} D_{m,n} \geq \lambda\right) \longrightarrow -2 \sum_{k=1}^{+\infty} (-1)^k e^{-(2k^2 \lambda^2)}$$

Pour une précision de  $\epsilon$  de la p-value, on somme jusqu'à  $N$  tel que  $e^{-2N^2 \lambda^2} < \epsilon$ .

C'est à dire

$$N \geq \sqrt{\frac{\log \epsilon}{-2 \lambda^2}}$$

Cette approximation fonctionne pour  $n$  et  $m$  grands. En général, on peut l'utiliser dès  $n > 20$  et  $m > 20$ .

Pour  $n$  et  $m$  petits, il faut connaître la loi exacte, avec la table de la loi.

Après avoir comparé avec les résultats générés par la commande `scipy.stats.ks_2samp` de python, on confirme que notre algorithme marche bien. Les résultats des deux algorithmes ont seulement moins de  $10^{-3}$  d'écart. On en conclut ainsi que python a utilisé autre méthode que ce qu'on utilise pour réaliser ce test.

### 3 Application sur les données CAC 40

Dans cette section, on applique les deux méthodes présentées précédemment sur les données du CAC 40 que nous avons extraites à partir du 1er janvier 2019.

#### 3.1 Résultats

##### 3.1.1 Méthode théorique

Tous ces  $k^*$  ont passé le test de K-S , avec des p-values toutes plus petites que  $10^{-3}$ , et la majorité sont même plus petites que  $10^{-10}$ .

	AC.PA	ACA.PA	AI.PA	AIR.PA	ALO.PA	BN.PA	BNP.PA	CA.PA
$a_1$	0.6964	0.6976	0.6961	0.6975	0.6971	0.6955	0.6974	0.6967
$b_1$	93.2585	88.2941	150.1628	93.7498	93.8283	174.1513	90.7773	82.8035
$a_2$	0.7010	0.6997	0.6969	0.7021	0.6986	0.6969	0.7007	0.6984
$b_2$	31.6030	45.3923	81.4529	29.5291	48.6494	74.4169	36.6760	47.9260
$k^*$	300	292	292	292	287	292	292	296

	CAP.PA	COFA.PA	CS.PA	DG.PA	DGM.PA	EDF.PA	EN.PA	GLE.PA
$a_1$	0.6996	0.6977	0.6960	0.6964	0.7104	0.6963	0.6997	0.6977
$b_1$	45.9255	67.6736	134.9967	129.9169	12.8679	89.5455	41.9164	77.4924
$a_2$	0.6978	0.7008	0.6993	0.6997	0.6998	0.6997	0.6961	0.7027
$b_2$	82.8096	39.6450	39.5671	36.6917	44.3831	45.3980	120.0483	25.1274
$k^*$	403	302	290	292	329	266	476	295

	HCMLF.PA	HO.PA	IDL.PA	IPN.PA	KER.PA	LR.PA	MC.PA	ML.PA
$a_1$	0.7000	0.6987	0.7117	0.7007	0.6992	0.6988	0.6987	0.6990
$b_1$	40.1438	45.8628	43.8972	33.3433	50.5596	41.1309	61.1711	47.2774
$a_2$	0.6978	0.6963	0.6989	0.6970	0.6978	0.6966	0.6974	0.6974
$b_2$	70.3117	112.2680	58.3544	90.0097	78.7903	115.5117	95.8124	94.5262
$k^*$	357	480	5	472	368	365	478	368

	OR.PA	ORA.PA	PUB.PA	RI.PA	RNO.PA	SAF.PA	SAN.PA	SEV.PA
$a_1$	0.6962	0.6952	0.6963	0.6970	0.7018	0.6969	0.6971	0.6989
$b_1$	130.9861	160.2303	106.6904	78.8740	31.6511	93.3112	82.9666	40.3092
$a_2$	0.6976	0.6969	0.6998	0.6961	0.6985	0.7018	0.6958	0.6936
$b_2$	69.8910	60.1818	43.9953	126.9085	63.9343	29.2425	137.8265	693.6804
$k^*$	211	285	292	475	486	300	477	581

	SGO.PA	SU.PA	TTE.PA	VIE.PA	VIV.PA	VK.PA
$a_1$	0.6994	0.6989	0.6957	0.6963	0.6972	0.7038
$b_1$	48.4942	52.3415	134.6228	148.9294	74.9619	22.8899
$a_2$	0.6977	0.6973	0.6996	0.6985	0.6986	0.7017
$b_2$	88.1965	96.9727	40.1571	58.4583	32.8267	37.9583
$k^*$	516	371	292	295	542	486

TABLE 3 – Estimateurs du maximum de vraisemblance.

### 3.1.2 Méthode analytique

Pareil qu'avant, tous ces  $k^*$  ont passé le test de K-S , avec des p-values toutes plus petites que  $10^{-3}$ , et la majorité sont même plus petites que  $10^{-10}$ .

	AC.PA	ACA.PA	AI.PA	AIR.PA	ALO.PA	BN.PA	BNP.PA	CA.PA
$a_1$	0.6961	0.6971	0.6960	0.6971	0.6968	0.6957	0.6969	0.9662
$b_1$	121.6322	105.7932	179.9298	110.2015	133.2713	202.5276	107.6727	131.236
$a_2$	0.7004	0.6999	0.6969	0.7021	0.6983	0.6965	0.7007	0.6982
$b_2$	54.6296	61.3794	107.9864	44.6522	71.9825	109.9871	58.1710	82.0256
$k^*$	302	300	292	298	284	203	302	271

	CAP.PA	COFA.PA	CS.PA	DG.PA	DGM.PA	EDF.PA	EN.PA	GLE.PA
$a_1$	0.6992	0.6974	0.6957	0.6962	0.7095	0.6962	0.6996	0.6972
$b_1$	69.1525	101.2627	166.4510	152.0002	26.8455	109.4395	63.8094	92.4274
$a_2$	0.6975	0.7006	0.6994	0.6998	0.6992	0.7000	0.6959	0.7024
$b_2$	110.2376	55.1593	69.0412	60.4635	61.0769	56.8085	141.1436	45.9061
$k^*$	402	302	301	298	328	266	476	301

	HCMLF.PA	HO.PA	IDL.PA	IPN.PA	KER.PA	LR.PA	MC.PA	ML.PA
$a_1$	0.7018	0.6984	0.7185	0.7010	0.6990	0.6987	0.6984	0.6989
$b_1$	47.2686	72.0500	34.0685	46.2669	71.9622	77.7054	86.2429	72.0364
$a_2$	0.6977	0.6961	0.6986	0.6981	0.6976	0.6964	0.6972	0.6971
$b_2$	91.0608	137.5051	81.2753	84.1360	96.3474	138.3442	113.4174	114.0520
$k^*$	357	480	5	341	372	364	477	364

	OR.PA	ORA.PA	PUB.PA	RI.PA	RNO.PA	SAF.PA	SAN.PA	SEV.PA
$a_1$	0.6961	0.6951	0.6995	0.6968	0.6968	0.6966	0.6969	0.6988
$b_1$	158.7503	189.9411	61.5480	112.0590	80.0460	114.6180	112.6061	77.6070
$a_2$	0.6973	0.6968	0.6971	0.6960	0.7024	0.7020	0.6956	0.6936
$b_2$	106.0398	104.1424	126.2913	160.6556	45.2166	45.0211	164.6526	1027.9265
$k^*$	211	285	491	489	302	305	477	587

	SGO.PA	SU.PA	TTE.PA	VIE.PA	VIV.PA	VK.PA
$a_1$	0.6970	0.6970	0.6955	0.6962	0.6977	0.7181
$b_1$	110.8966	131.8521	147.1544	170.9746	93.6896	14.6835
$a_2$	0.6999	0.6984	0.6998	0.6985	0.7368	0.7029
$b_2$	65.6845	83.0505	62.3031	76.8390	8.1467	38.2795
$k^*$	300	290	301	295	687	340

TABLE 4 – Estimateurs par la méthode analytique.

## 3.2 Graphiques

### 3.2.1 AC.PA

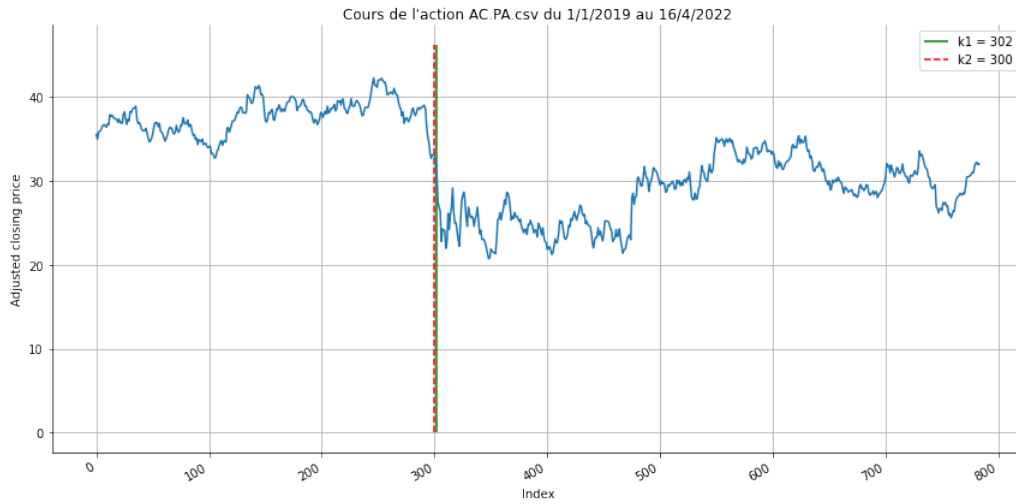


FIGURE 3 – Cours de l'action du AC.PA du 01/01/2019 au 19/01/2022

Les dates des points de rupture trouvées sont le '2020-03-04' et le '2020-03-06'. Ces dates correspondent aux conséquences de la pandémie mondiale due au Covid-19 à savoir l'annonce du premier confinement, qui marque une forte baisse d'activité.



### 3.2.2 ACA.PA

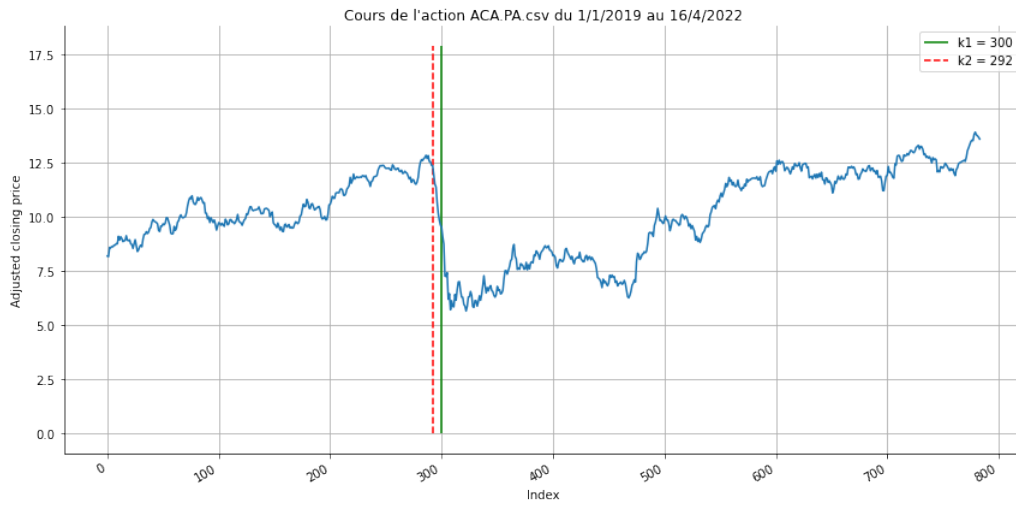


FIGURE 4 – Cours de l'action du ACA.PA du 01/01/2019 au 19/01/2022

Les points de rupture trouvés ont eu lieu le '2020-02-21' et le '2020-03-04'. Ces dates correspondent à la montée de la pandémie du Covid-19 et aux conséquences sur l'économie mondiale

### 3.2.3 AI.PA

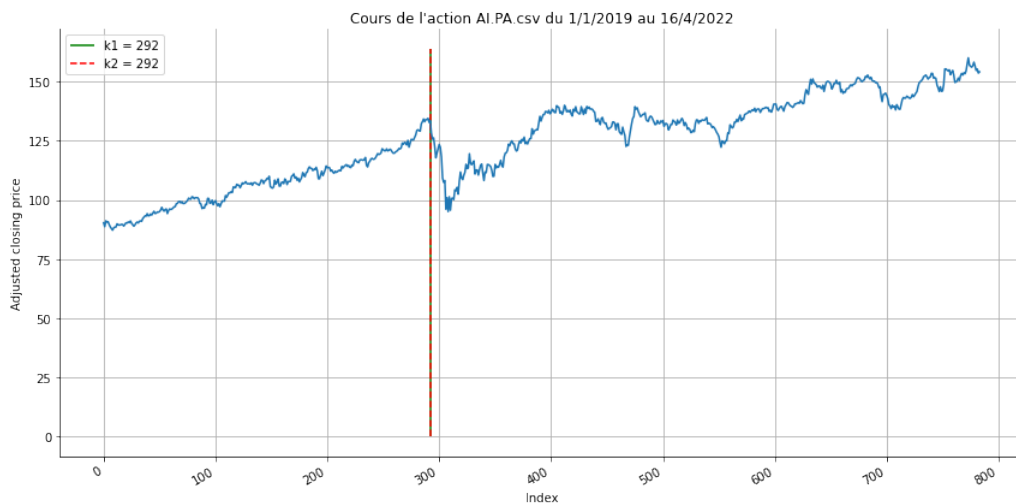


FIGURE 5 – Cours de l'action du AI.PA du 01/01/2019 au 19/01/2022

Le point de rupture trouvé a eu lieu le '2020-02-21'. Cette date renvoie au Covid-19 et à ses conséquences sur l'économie mondiale.

### 3.2.4 AIR.PA

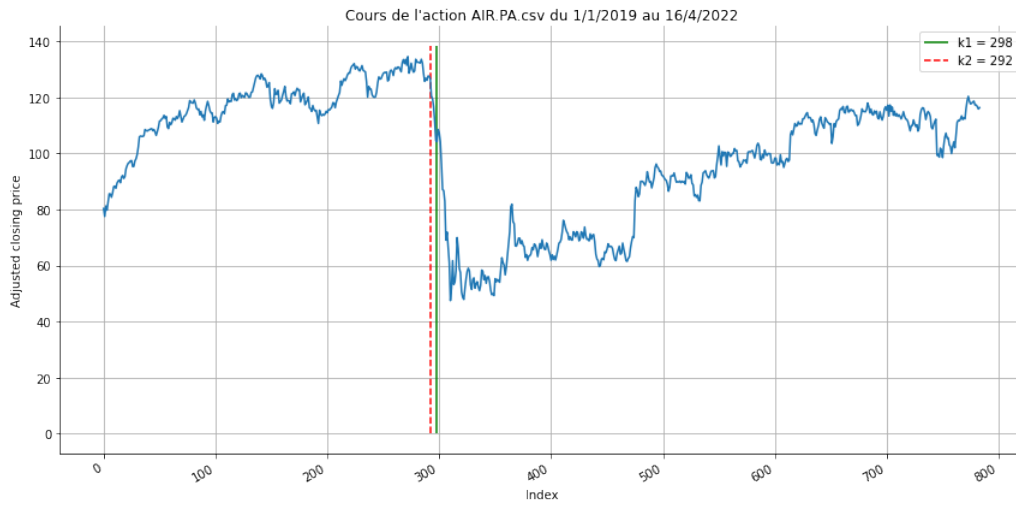


FIGURE 6 – Cours de l'action du AIR.PA du 01/01/2019 au 19/01/2022

Les points de rupture trouvés ont eu lieu le '2020-03-02' et le '2020-02-21'. Ces dates renvoient au Covid-19 et à ses conséquences sur l'économie mondiale.

### 3.2.5 ALO.PA

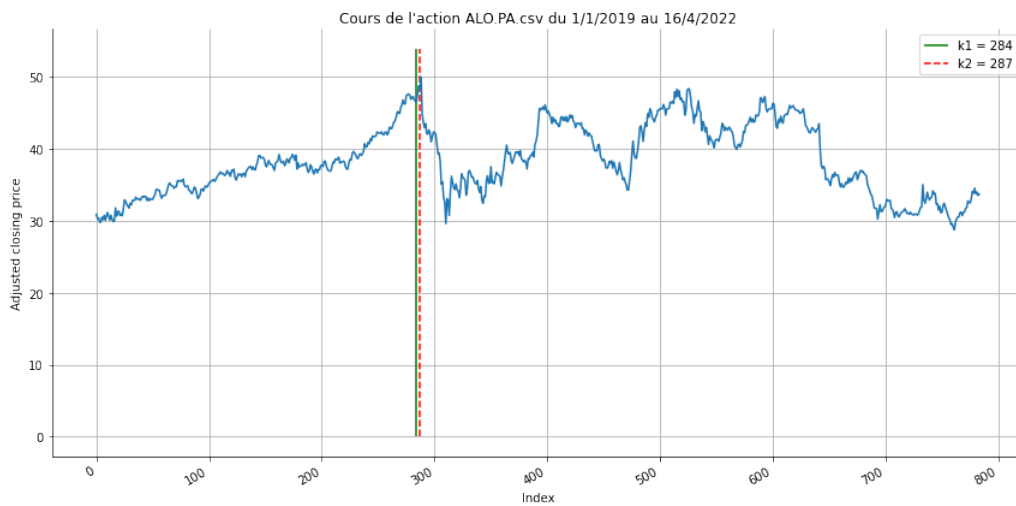


FIGURE 7 – Cours de l'action du ALO.PA du 01/01/2019 au 19/01/2022

Les points de rupture trouvés ont eu lieu le '2020-02-21' et le '2020-03-02'. Ces dates renvoient au Covid-19 et à ses conséquences sur l'économie mondiale.

### 3.2.6 BN.PA

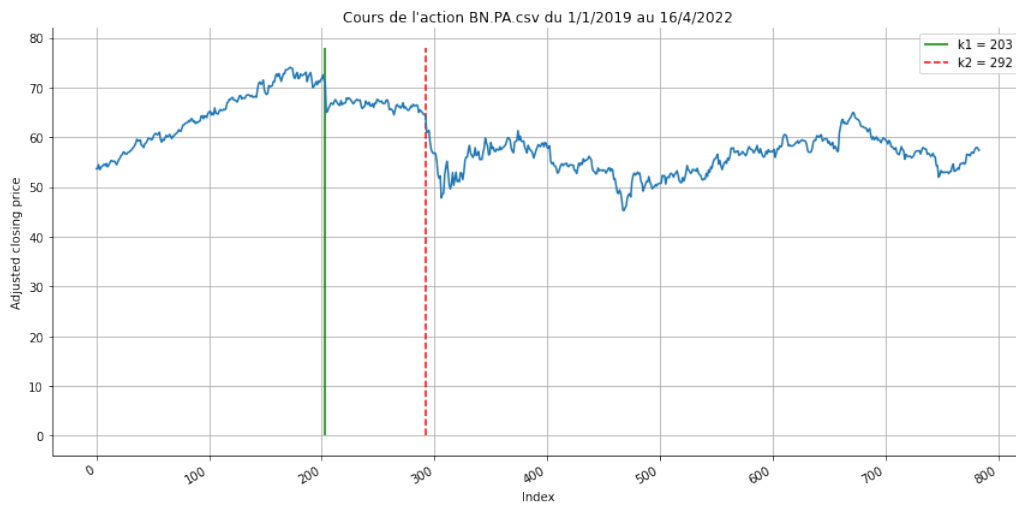


FIGURE 8 – Cours de l'action du BN.PA du 01/01/2019 au 19/01/2022

Les points de rupture trouvés ont eu lieu le '2019-10-17' et le '2020-02-21'. Le '2019-10-17', le cours de Danone a chuté en raison de l'annonce de ses résultats trimestriels qui étaient inférieurs aux attentes. D'autre part Danone a revu à la baisse les prévisions de son chiffre d'affaire pour le quatrième trimestre de 2019. Le '2020-02-21' correspond à l'épidémie du Covid-19 et de ses conséquences sur l'économie mondiale.

### 3.2.7 BNP.PA

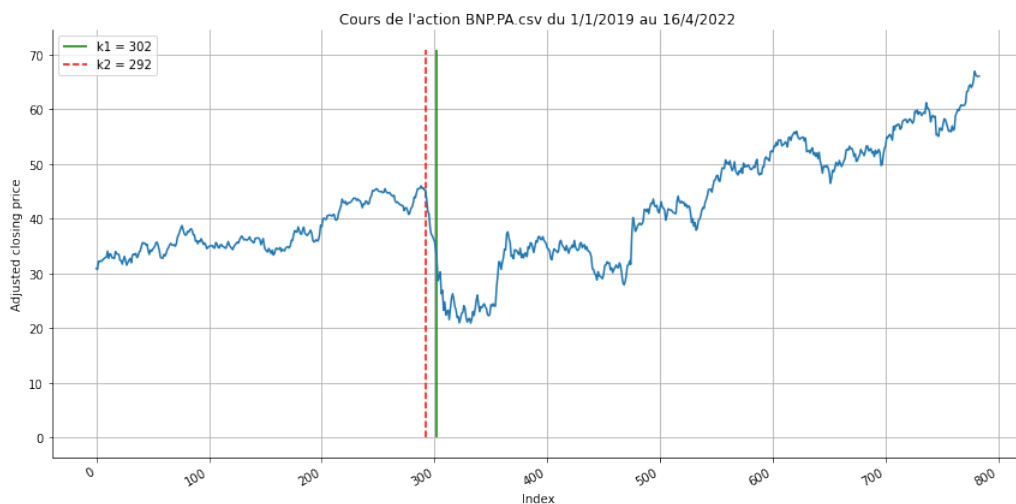


FIGURE 9 – Cours de l'action du BNP.PA du 01/01/2019 au 19/01/2022

Les points de rupture trouvés ont eu lieu le '2020-02-21' et le '2020-03-06'. Ces dates correspondent au Covid-19 et à ses conséquences sur l'économie mondiale.

### 3.2.8 CA.PA

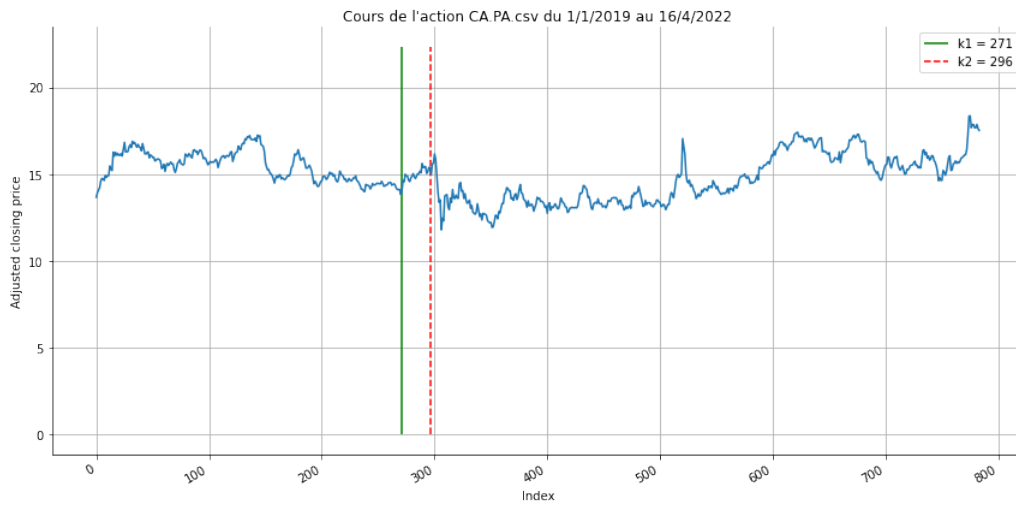


FIGURE 10 – Cours de l'action du CA.PA du 01/01/2019 au 19/01/2022

Les points de rupture trouvés ont eu lieu le '2020-01-23' et le '2020-02-27'. Le '2020-02-27' correspond au Covid-19 et à ses conséquences sur l'économie mondiale.

### 3.2.9 CAP.PA

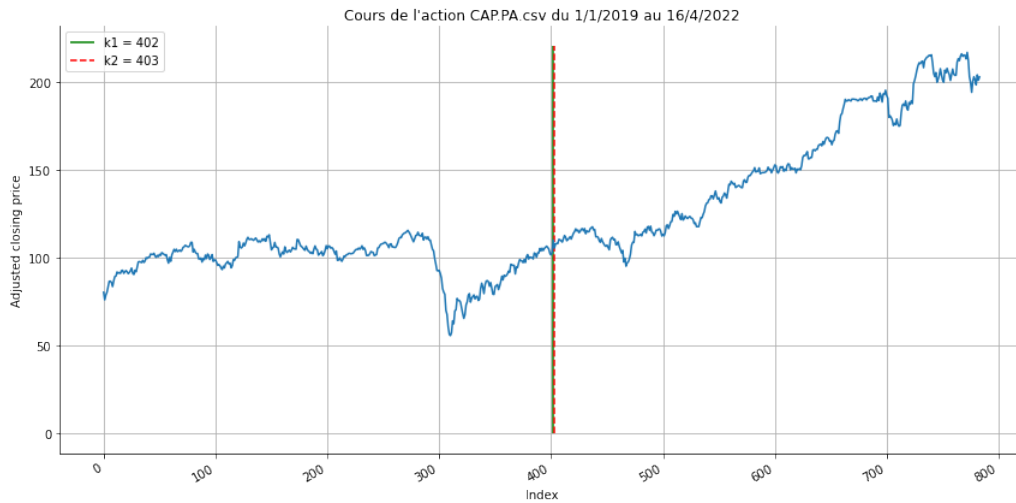


FIGURE 11 – Cours de l'action du CAP.PA du 01/01/2019 au 19/01/2022

Pour cette entreprise, les deux méthodes analytique, et log-vraisemblance nous donnent quasiment le même temps de rupture..

Les points de rupture trouvés ont eu lieu le '2020-07-29' et le '2020-07-30'. Ces dates correspondent à la levée de certaines restrictions en France.

### 3.2.10 COFA.PA



FIGURE 12 – Cours de l'action du COFA.PA du 01/01/2019 au 19/01/2022

Pour cette entreprise, les deux méthodes analytique, et log-vraisemblance nous donnent le même temps de rupture ( la même valeur de  $k = 302$ ).

Le point de rupture trouvé a eu lieu le '2020-03-06'. Cette date correspond au début des restrictions des libertés dues au Covid-19.

### 3.2.11 CS.PA

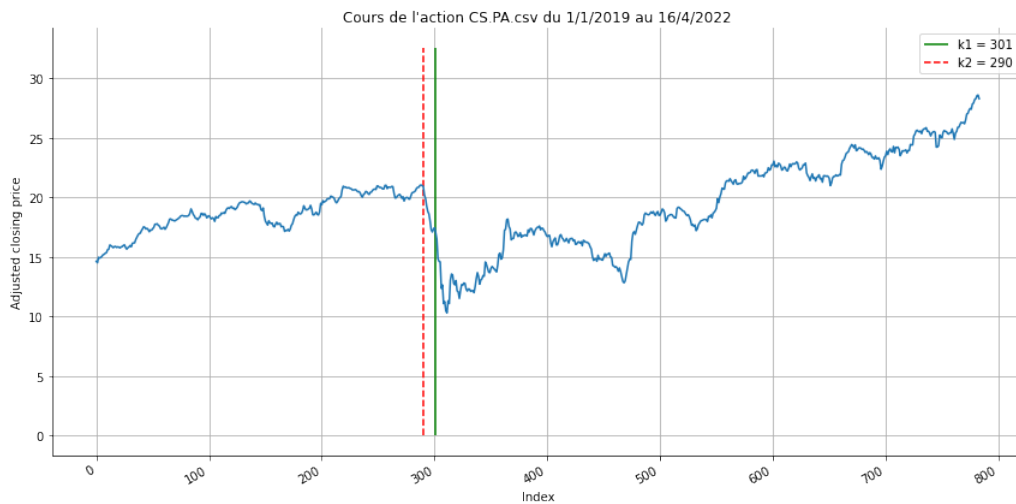


FIGURE 13 – Cours de l'action du CS.PA du 01/01/2019 au 19/01/2022

Les points de rupture trouvés ont eu lieu le '2020-02-19' et le '2020-03-05'. Ces dates correspondent aux conséquences de la pandémie du Covid-19 sur l'économie mondiale.

### 3.2.12 DG.PA

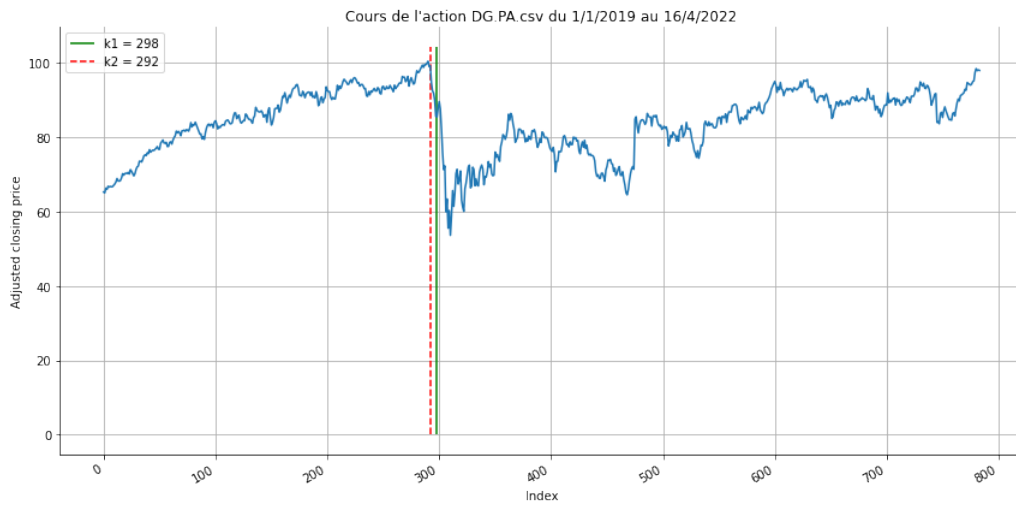


FIGURE 14 – Cours de l'action du DG.PA du 01/01/2019 au 19/01/2022

Les points de rupture trouvés ont eu lieu le '2020-02-21' et le '2020-03-02'. Ces dates correspondent aux conséquences de la pandémie du Covid-19 sur l'économie mondiale.

### 3.2.13 DGM.PA

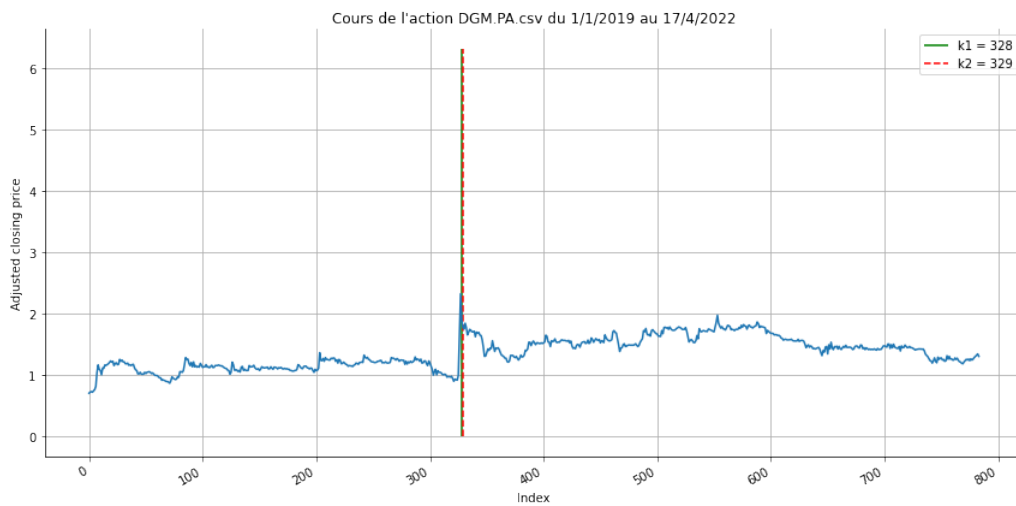


FIGURE 15 – Cours de l'action du DGM.PA du 01/01/2019 au 19/01/2022

Pour cette entreprise, les deux méthodes analytique, et log-vraisemblance nous donnent quasiment le même temps de rupture.

Les points de rupture trouvés ont eu lieu le '2020-04-15' et le '2020-04-16'.

### 3.2.14 EDF.PA

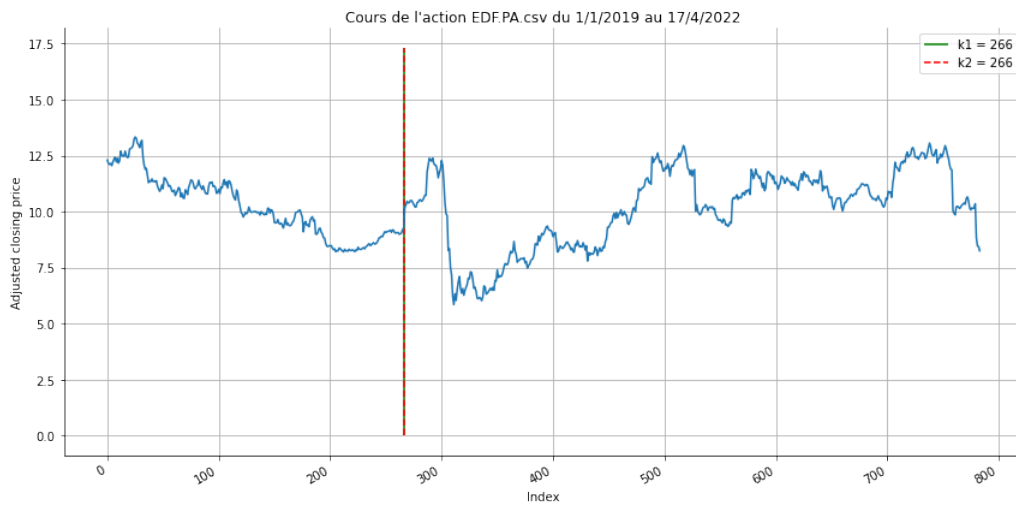


FIGURE 16 – Cours de l'action du EDF.PA du 01/01/2019 au 19/01/2022

Pour cette entreprise, les deux méthodes analytique, et log-vraisemblance nous donnent le même temps de rupture ( la même valeur de  $k = 266$ ).

Le point de rupture trouvé a eu lieu le '2020-01-16'. Cette date correspond à l'annonce des résultats du quatrième trimestre de 2019. EDF a eu un bénéfice net multiplié par plus de quatre en 2019, ce qui explique l'augmentation de son cours boursier.

### 3.2.15 EN.PA

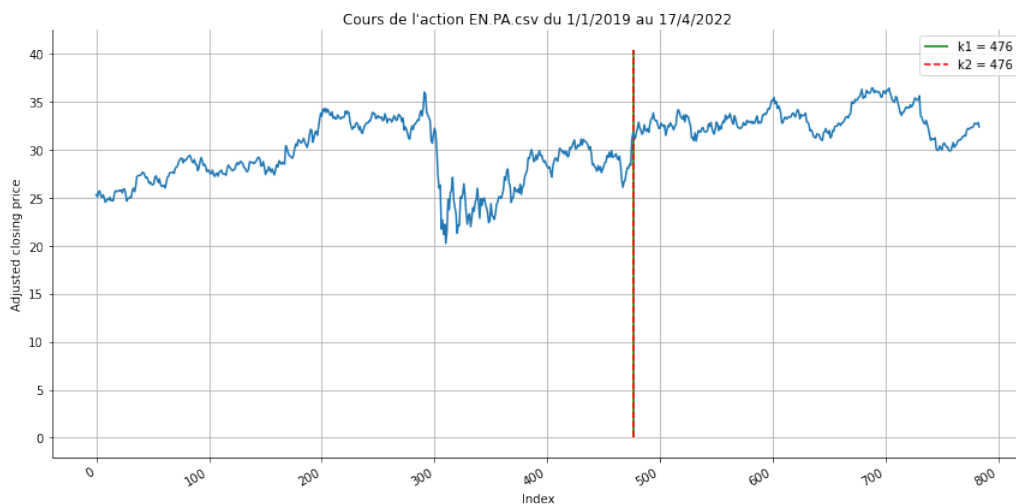


FIGURE 17 – Cours de l'action du EN.PA du 01/01/2019 au 19/01/2022

Pour cette entreprise, les deux méthodes analytique, et log-vraisemblance nous donnent le même temps de rupture ( la même valeur de  $k = 476$ ).

Le point de rupture trouvé a eu lieu le '2020-11-10'. Bouygues a vu son chiffre d'affaire augmenté de 10%. Après les annonces de ses résultats son action a augmenté.

### 3.2.16 GLE.PA

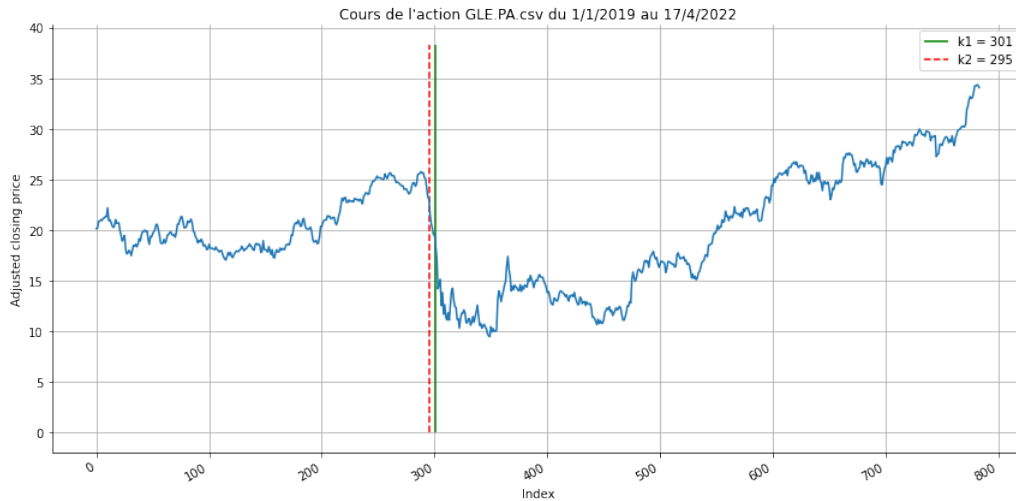


FIGURE 18 – Cours de l'action du GLE.PA du 01/01/2019 au 19/01/2022

Pour cette entreprise, les deux méthodes analytique, et log-vraisemblance nous donnent quasiment le même temps de rupture (différence de 6).

Les points de rupture trouvés ont eu lieu le '2020-03-05' et le '2020-02-26'. Ces dates correspondent aux conséquences de la pandémie du Covid-19 sur l'économie mondiale.

### 3.2.17 HCMLF.PA



FIGURE 19 – Cours de l'action HCMLF.PA du 01/01/2019 au 19/01/2022



Pour cette entreprise, les deux méthodes analytique, et log-vraisemblance nous donnent le même temps de rupture ( la même valeur de  $k = 357$ ).

Le point de rupture trouvé a eu lieu le '2020-05-27'.

### 3.2.18 HO.PA

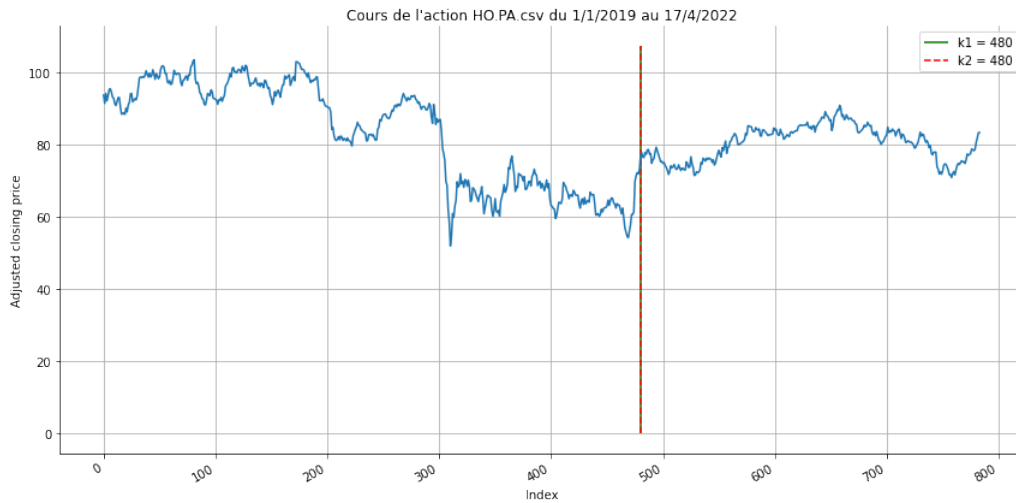


FIGURE 20 – Cours de l'action du HO.PA du 01/01/2019 au 19/01/2022

Pour cette entreprise, les deux méthodes analytique, et log-vraisemblance nous donnent le même temps de rupture ( la même valeur de  $k = 480$ ).

Le point de rupture trouvé a eu lieu le '2020-11-16'.

### 3.2.19 IDL.PA

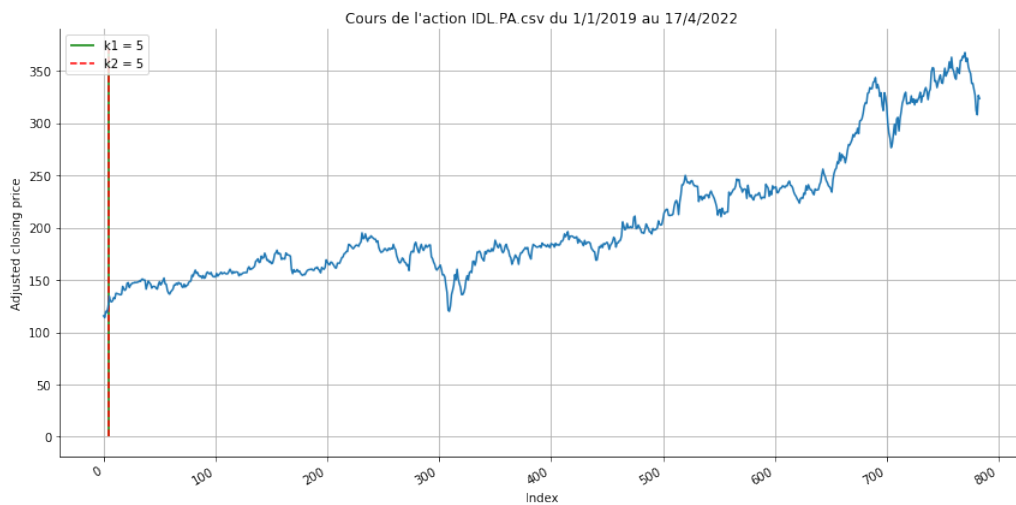


FIGURE 21 – Cours de l'action du IDL.PA du 01/01/2019 au 19/01/2022

Pour cette entreprise, les deux méthodes analytique, et log-vraisemblance nous donnent le même temps de rupture ( la même valeur de  $k = 5$ ).

Le point de rupture trouvé a eu lieu le '2019-01-09'.

### 3.2.20 IPN.PA

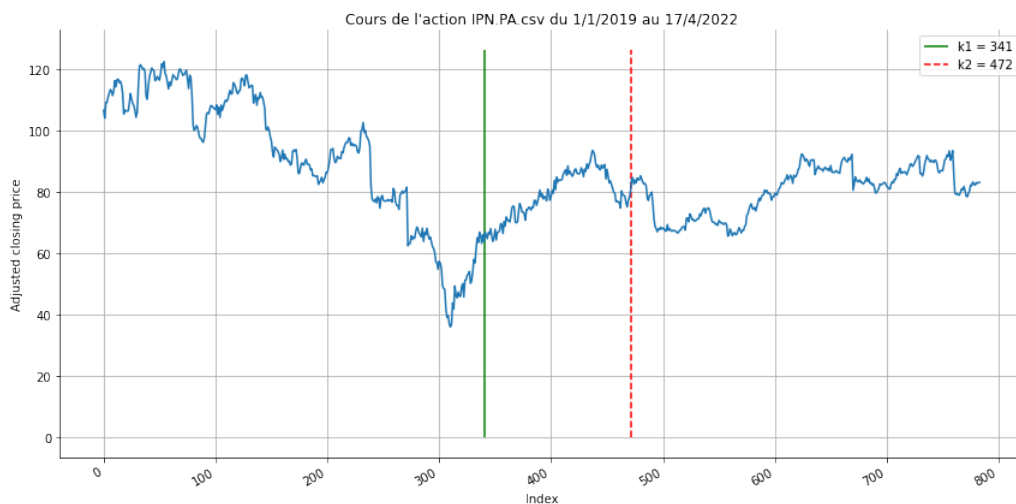


FIGURE 22 – Cours de l'action du IPN.PA du 01/01/2019 au 19/01/2022

Nous remarquons que pour cette entreprise, les deux méthodes analytique, et log-vraisemblance nous donnent des temps de rupture différents ( Une différence de 131 pour la valeur de  $k$ ).

Les points de rupture trouvés ont eu lieu le '2020-11-04' et le '2020-05-05'. Ces dates correspondent aux conséquences de la pandémie du Covid-19 sur l'économie mondiale.

### 3.2.21 KER.PA

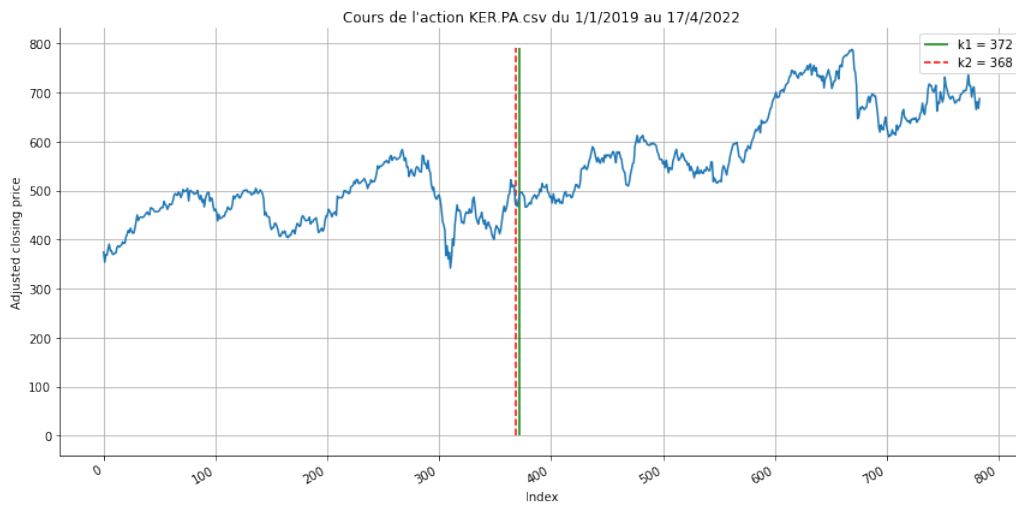


FIGURE 23 – Cours de l'action du KER.PA du 01/01/2019 au 19/01/2022

Pour cette entreprise, les deux méthodes analytique, et log-vraisemblance nous donnent des temps de rupture très proches ( une différence de 4 entre les deux valeurs de  $k$ ).

Cette rupture est probablement due à la pandémie mondiale du Covid 19.

Les points de rupture trouvés ont eu lieu le '2020-06-11' et le '2020-06-17'. Ces dates correspondent aux conséquences de la pandémie du Covid-19 sur l'économie mondiale.

### 3.2.22 LR.PA

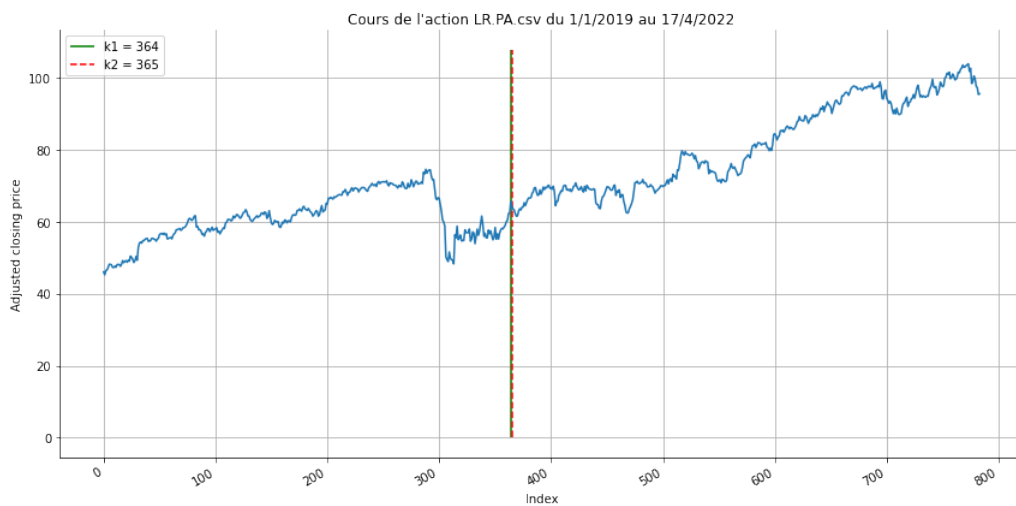


FIGURE 24 – Cours de l'action du LR.PA du 01/01/2019 au 19/01/2022

Pour cette entreprise, les deux méthodes analytique, et log-vraisemblance nous donnent quasiment le même temps de rupture ( une différence de 1 entre les deux valeurs de  $k$ ).

Les points de rupture trouvés ont eu lieu le '2020-06-08' et le '2020-06-05'.

### 3.2.23 MC.PA

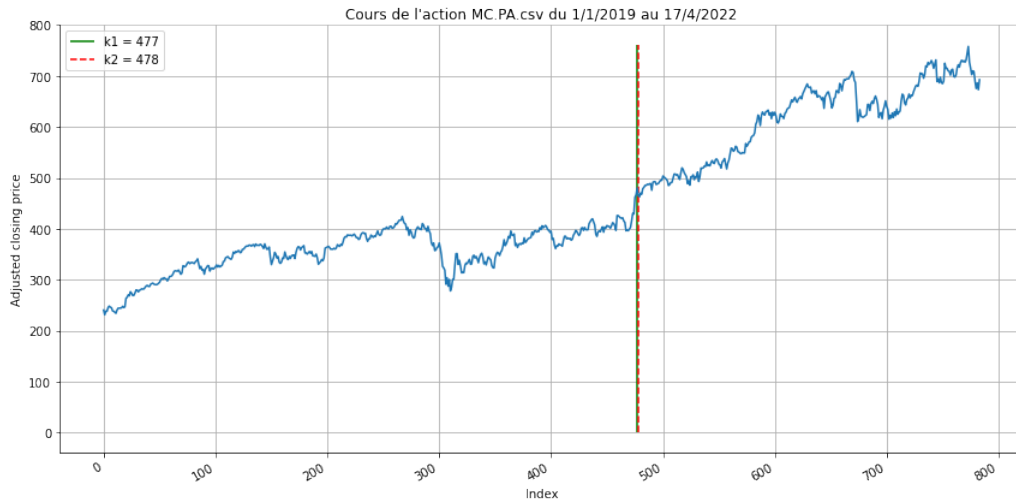


FIGURE 25 – Cours de l'action du MC.PA du 01/01/2019 au 19/01/2022

Pour cette entreprise aussi, les deux méthodes analytique, et log-vraisemblance nous donnent quasiment le même temps de rupture ( une différence de 1 entre les deux valeurs de  $k$  ).

Les points de rupture trouvés ont eu lieu le '2020-11-12' et le '2020-11-17'. Ces dates correspondent aux conséquences de la pandémie du Covid-19 sur l'économie mondiale.

### 3.2.24 ML.PA

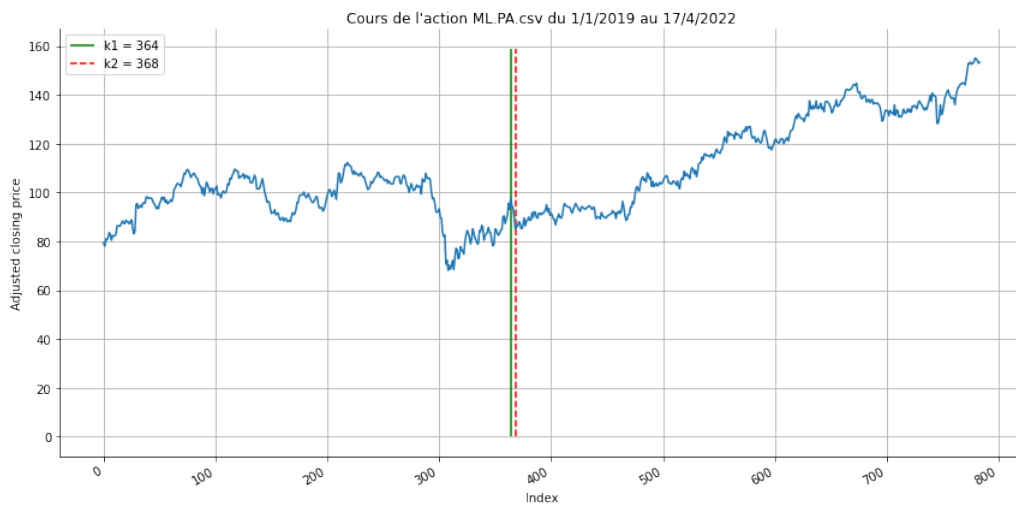


FIGURE 26 – Cours de l'action du ML.PA du 01/01/2019 au 19/01/2022

Pour cette entreprise, les deux méthodes analytiques, et log-vraisemblance nous donnent quasiment le même temps de rupture (une différence de 4 entre les deux valeurs de  $k$ , la première est à 364 et la deuxième est à 368).

Les points de rupture trouvés ont eu lieu le '2020-06-11' et le '2020-06-05'.

### 3.2.25 OR.PA

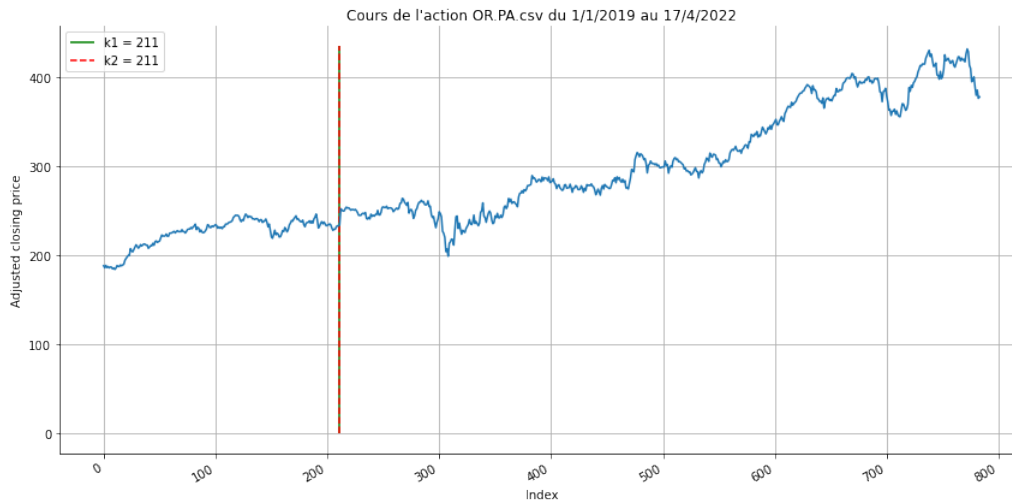


FIGURE 27 – Cours de l'action du OR.PA du 01/01/2019 au 19/01/2022

On peut voir que pour cette entreprise, on a la même valeur de  $k$ , que ça soit pour la méthode analytique ou bien la log-vraisemblance, et cette valeur est égale à 211.

Le point de rupture trouvé a eu lieu le '2019-10-29'.

### 3.2.26 ORA.PA

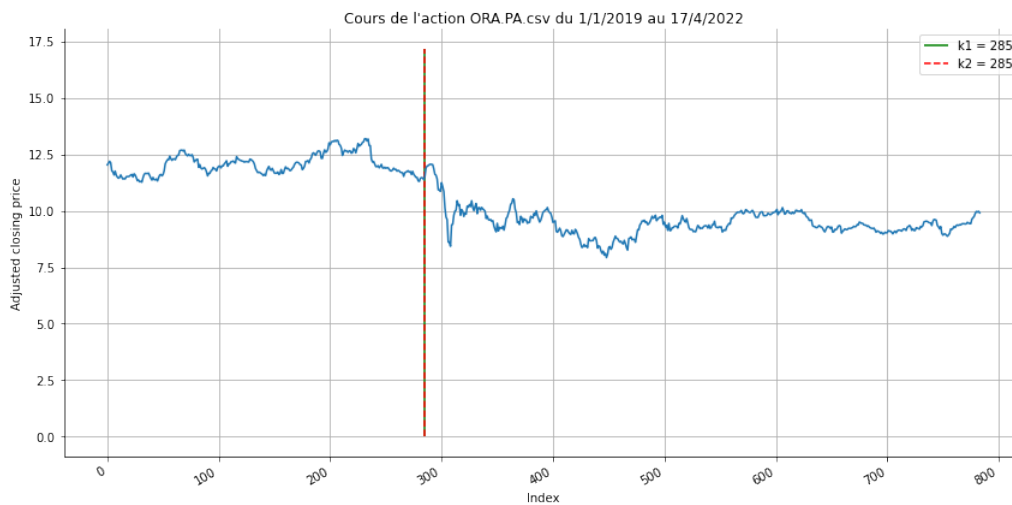


FIGURE 28 – Cours de l'action du ORA.PA du 01/01/2019 au 19/01/2022

On peut voir que pour cette entreprise, on a la même valeur de  $k$ , que ça soit pour la méthode analytique ou bien la log-vraisemblance, et cette valeur est égale à 285.

Le point de rupture trouvé a eu lieu le '2020-02-12'.

### 3.2.27 PUB.PA

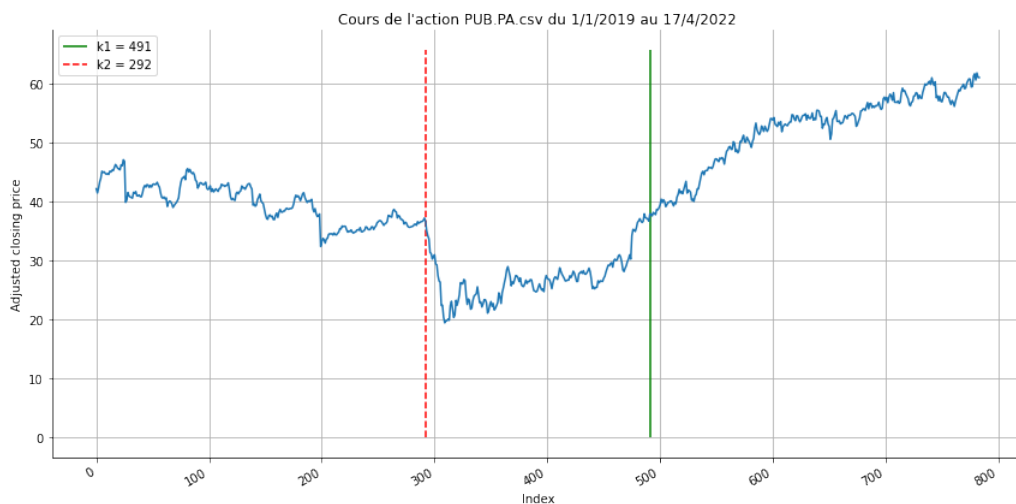


FIGURE 29 – Cours de l'action du PUB.PA du 01/01/2019 au 19/01/2022

Nous remarquons que pour cette entreprise, les deux méthodes analytique, et log-vraisemblance nous donnent des temps de rupture différents ( Une différence de 199 pour la valeur de  $k$ ).

Les points de rupture trouvés ont eu lieu le '2020-02-21' et le '2020-12-01'. Ces dates correspondent aux conséquences de la pandémie du Covid-19 sur l'économie mondiale.

### 3.2.28 RI.PA

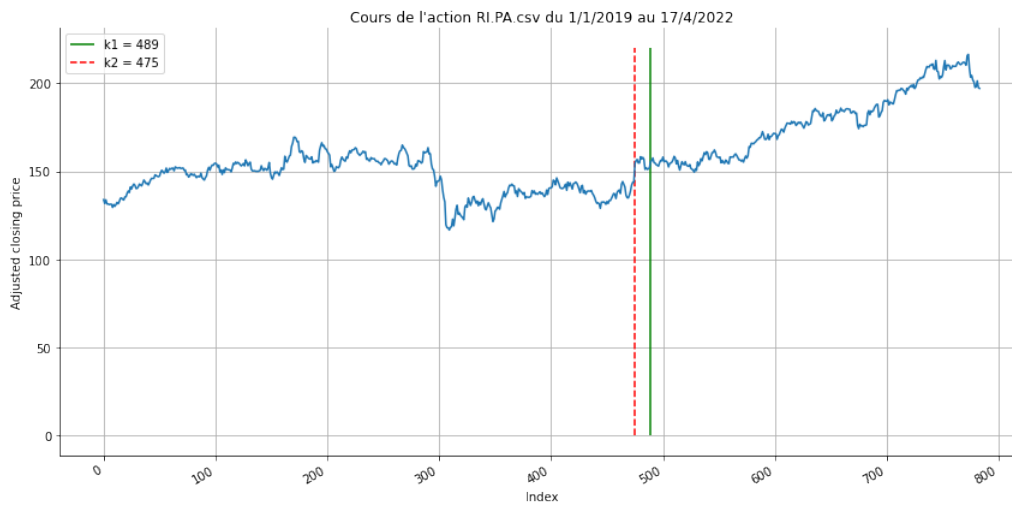


FIGURE 30 – Cours de l'action du RI.PA du 01/01/2019 au 19/01/2022

Nous remarquons que pour cette entreprise, la différence de  $k$  entre la méthode analytique et la méthode de log-vraisemblance n'est pas trop grande, et cette valeur est donc 14.

Les points de rupture trouvés ont eu lieu le '2020-11-09' et le '2020-11-27'. Ces dates correspondent aux conséquences de la pandémie du Covid-19 sur l'économie mondiale.

### 3.2.29 RNO.PA

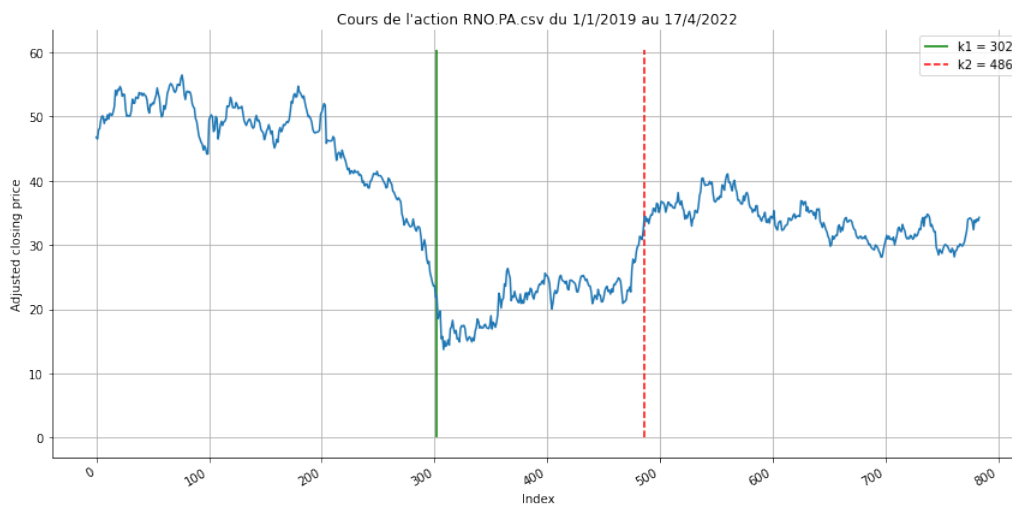


FIGURE 31 – Cours de l'action du PNO.PA du 01/01/2019 au 19/01/2022

Nous remarquons que pour cette entreprise, les deux méthodes analytique, et log-vraisemblance nous donnent des temps de rupture différents ( Une différence de 184 pour

la valeur de  $k$ ).

Les points de rupture trouvés ont eu lieu le '2020-11-24' et le '2020-03-06'.

### 3.2.30 SAF.PA



FIGURE 32 – Cours de l'action du SAF.PA du 01/01/2019 au 19/01/2022

Pour cette entreprise, les deux méthodes analytiques, et log-vraisemblance nous donnent quasiment le même temps de rupture (une différence de 5 entre les deux valeurs de  $k$ , la première est à 305 et la deuxième est à 300).

Les points de rupture trouvés ont eu lieu le '2020-03-04' et le '2020-03-11'.

### 3.2.31 SAN.PA

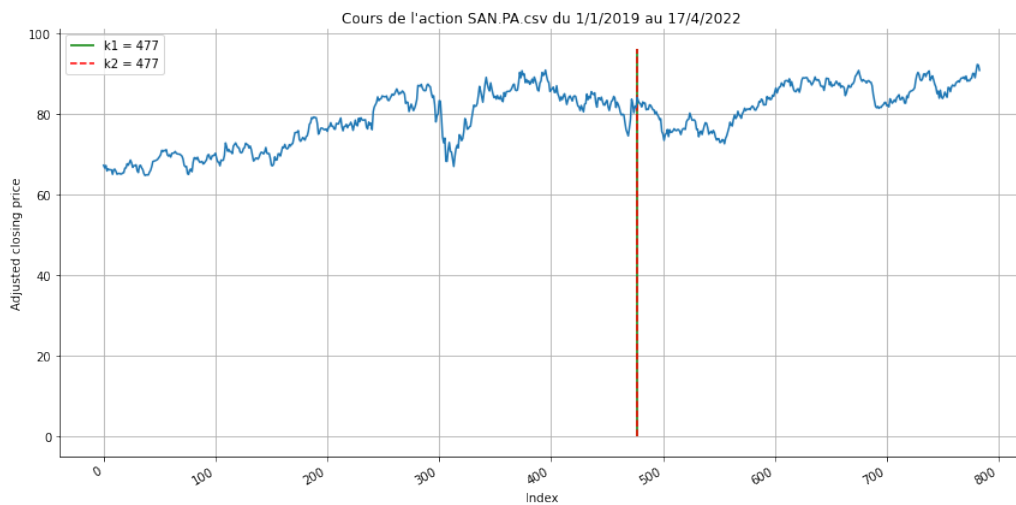


FIGURE 33 – Cours de l'action du SAN.PA du 01/01/2019 au 19/01/2022



Le point de rupture trouvé a eu lieu le '2020-11-11'.

### 3.2.32 SEV.PA

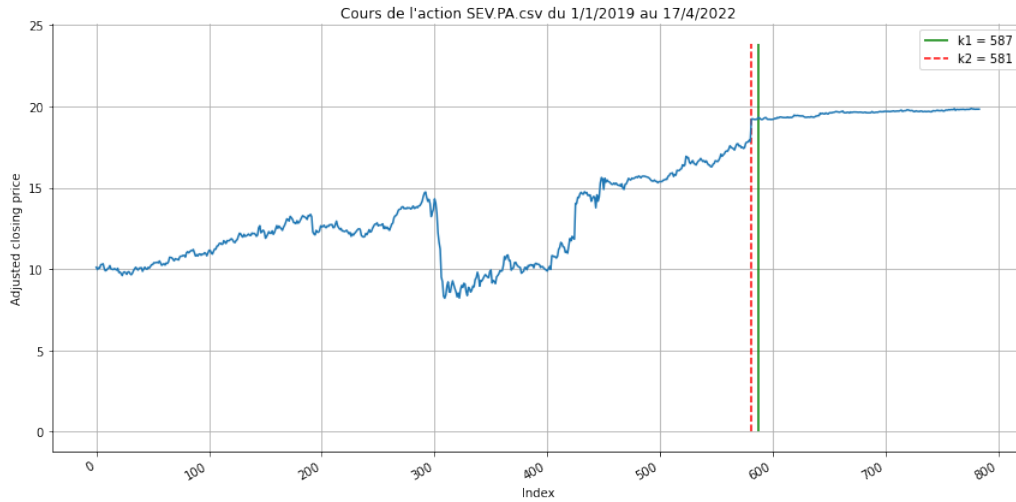


FIGURE 34 – Cours de l'action du SEV.PA du 01/01/2019 au 19/01/2022

Pour cette entreprise, les deux méthodes analytique et de log-vraisemblance nous donnent quasiment le même temps de rupture (une différence de 6 entre les deux valeurs de  $k$ ).

Les points de rupture trouvés ont eu lieu le '2021-04-12' et le '2021-04-20'.

### 3.2.33 SGO.PA

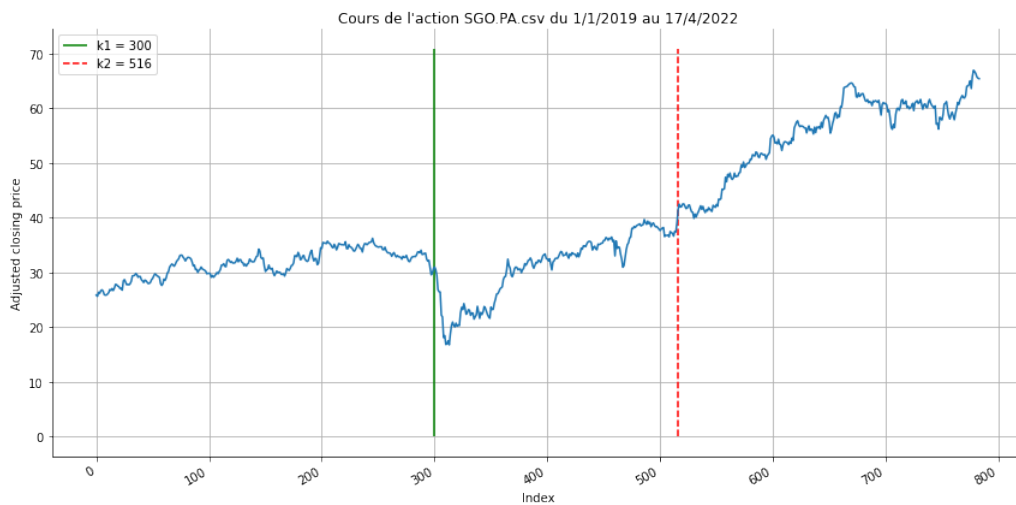


FIGURE 35 – Cours de l'action du SGO.PA du 01/01/2019 au 19/01/2022

Nous remarquons que pour cette entreprise, les deux méthodes analytique et de log-vraisemblance nous donnent des temps de rupture différents (une différence de 216 pour la valeur de  $k$ ).

Les points de rupture trouvés ont eu lieu le '2021-01-07' et le '2020-03-04'.

### 3.2.34 SU.PA

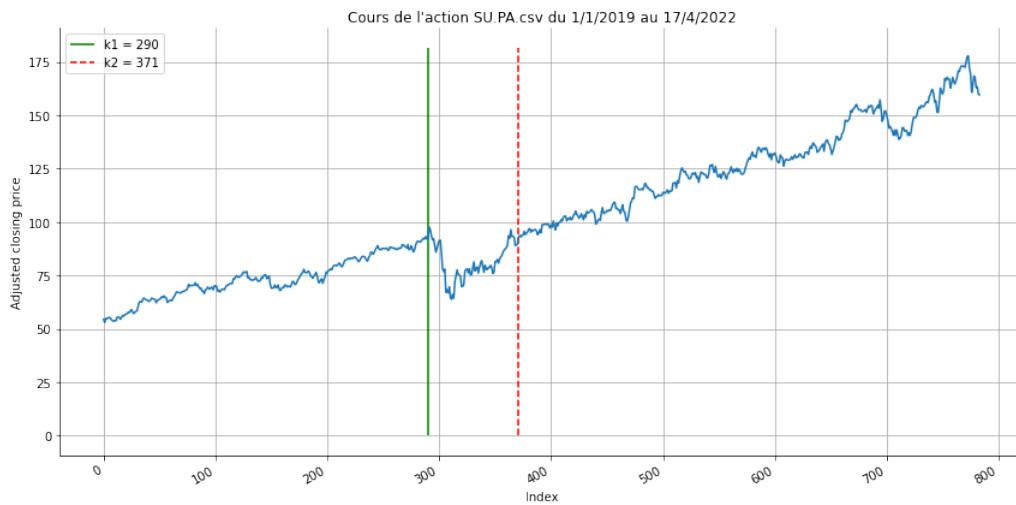


FIGURE 36 – Cours de l'action du SU.PA du 01/01/2019 au 19/01/2022

Nous remarquons que pour cette entreprise, les deux méthodes analytique et de log-vraisemblance nous donnent des temps de rupture différents (une différence de 81 pour la valeur de  $k$ ).

Les points de rupture trouvés ont eu lieu le '2020-06-16' et le '2020-02-19'.

### 3.2.35 TTE.PA

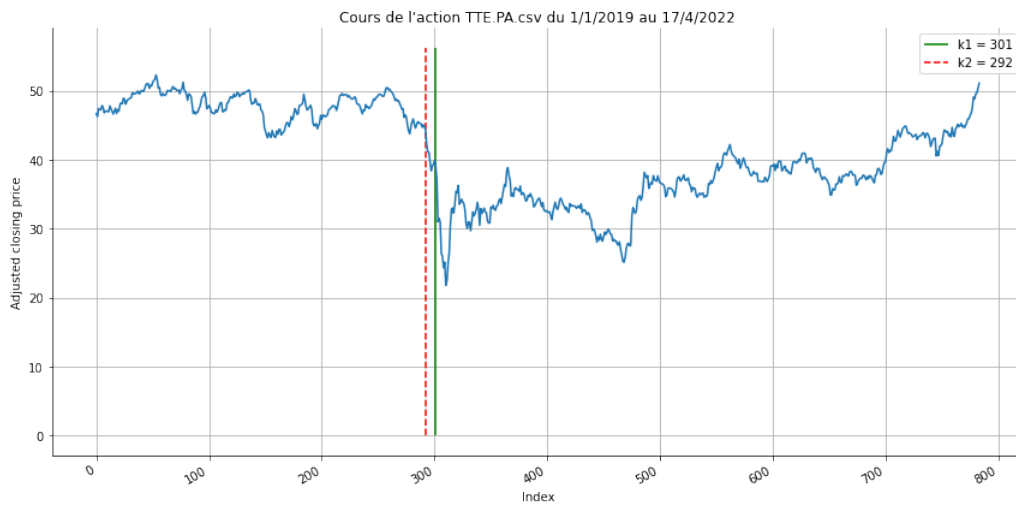


FIGURE 37 – Cours de l'action du TTE.PA du 01/01/2019 au 19/01/2022

Pour cette entreprise, les deux méthodes analytique et de log-vraisemblance nous donnent quasiment le même temps de rupture (une différence de 9 entre les deux valeurs de  $k$ ).

Les points de rupture trouvés ont eu lieu le '2020-02-21' et le '2020-03-05'.

### 3.2.36 VIE.PA

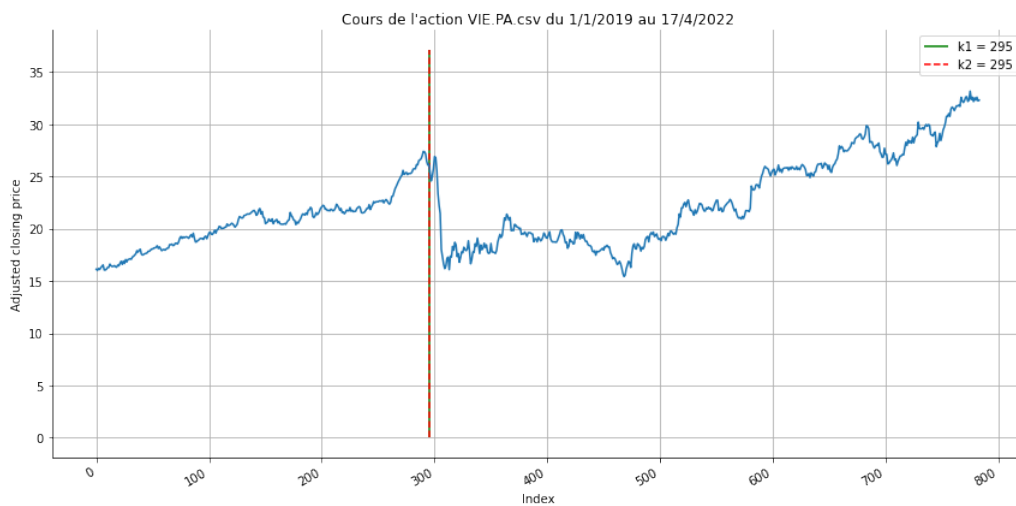


FIGURE 38 – Cours de l'action du VIE.PA du 01/01/2019 au 19/01/2022

Pour cette entreprise, les deux méthodes analytique et de log-vraisemblance nous donnent le même temps de rupture (les valeurs de  $k$  sont égales).

Le point de rupture trouvé a eu lieu le '2020-02-26'.

### 3.2.37 VIV.PA

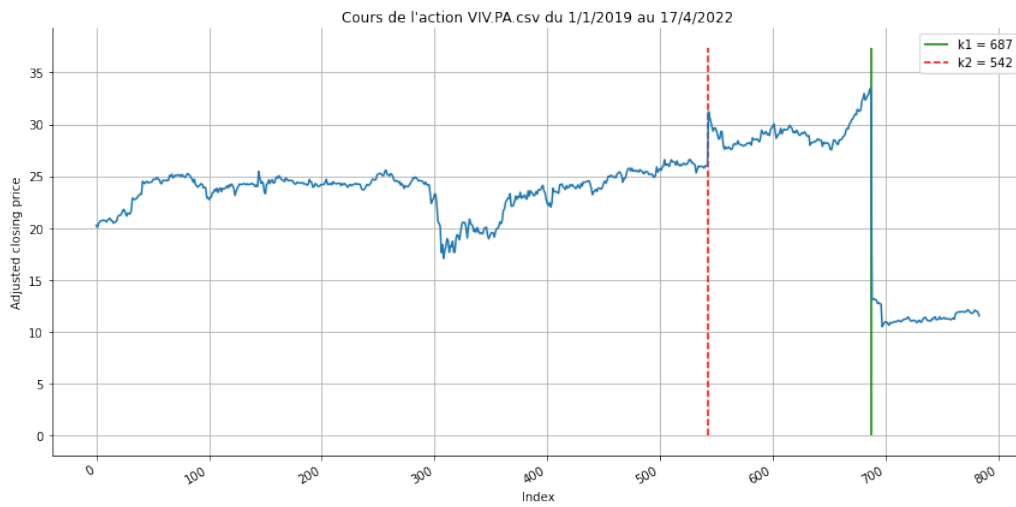


FIGURE 39 – Cours de l'action du VIV.PA du 01/01/2019 au 19/01/2022

Nous remarquons que pour cette entreprise, les deux méthodes analytique et de log-vraisemblance nous donnent des temps de rupture différents (une différence de 145 pour la valeur de  $k$ ).

Les points de rupture trouvés ont eu lieu le '2021-02-12' et le '2021-09-07'.

### 3.2.38 VK.PA

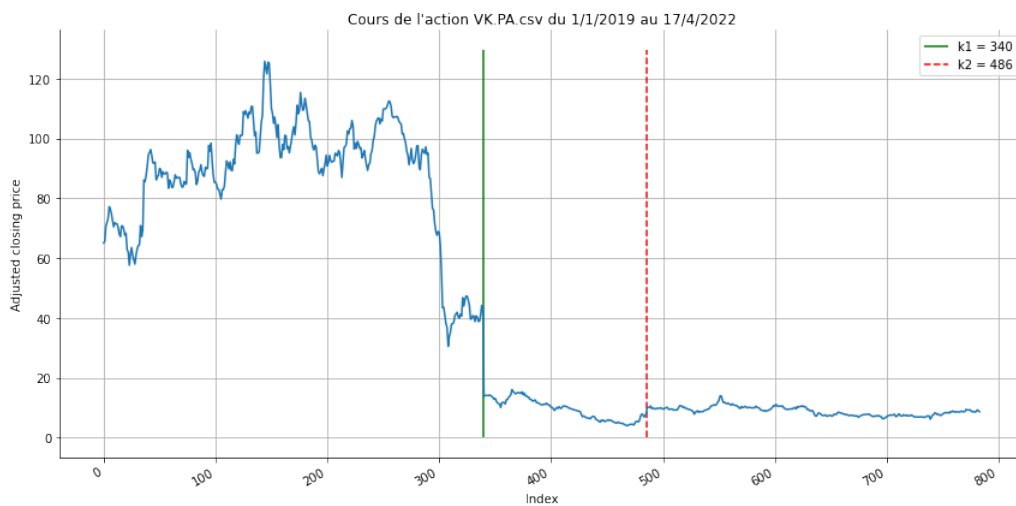


FIGURE 40 – Cours de l'action du VK.PA du 01/01/2019 au 19/01/2022

Nous remarquons que pour cette entreprise, les deux méthodes analytique et de log-vraisemblance nous donnent des temps de rupture différents (une différence de 146 pour la valeur de  $k$ ).

Les points de rupture trouvés ont eu lieu le '2020-11-24' et le '2020-05-04'.

## 4 Conclusion et Perspectives

La méthode mise en place permet de trouver le point de rupture le plus significatif sur un échantillon donné. S'il en existe plusieurs et que l'on souhaite tous les trouver, on pourrait appliquer à nouveau cette méthode de la manière suivante :

- On trouve le plus grand point de rupture sur l'échantillon de départ  $E$ , qui se divise donc en deux échantillons  $E_1$  et  $E_2$ . On effectue à nouveau la méthode sur  $E_1$  et  $E_2$ .
- On applique la méthode pour trouver le plus grand point de rupture sur chaque sous-échantillon. Tant que l'on en trouve un, chaque sous-échantillon est divisé en deux.
- Si l'on ne trouve pas de nouveau point de rupture sur un échantillon  $E_i$  donné, alors le test d'adéquation de Kolmogorov-Smirnov est mis en oeuvre pour s'assurer que  $E_i$  suit bien une loi de Weibull dont les paramètres sont estimés.

Dans ce projet, on a réalisé deux méthodes pour trouver le point de rupture le plus significatif sur nos données : la méthode du maximum de vraisemblance et la méthode analytique qui transforme le modèle de la loi de Weibull en modèle linéaire simple. Tous les ruptures ( $k^*$ ) trouvées ont passé le test de Kolmogorov-Smirnov d'homogénéité, avec l'hypothèse " $H_0 : X_1 \dots X_k$  et  $X_{k+1} \dots X_n$  suivent la même loi", et toutes les p-values plus petites que  $10^{-3}$ . Cela implique que toutes les ruptures ( $k^*$ ) trouvées sont significatives.

## Références

- [1] Dariush Ghorbanzadeh, Philippe Durand, Luan Jaupi. An Analytical Method for Detecting the Change-Point in Simple Linear Regression Model. Application at Weibull Distribution. *Journal of Applied Quantitative Methods*, Association for Development through Science and Education, Romania, 2016, 11 (1), pp. 1-13. <https://hal-cnrm.archives-ouvertes.fr/hal-02464929/document>
- [2] William H. Press and Saul A. Teukolsky. Kolmogorov-Smirnov Test for Two-Dimensional Data. <https://aip.scitation.org/doi/pdf/10.1063/1.4822753>
- [3] Jean-Jacques Ruch. Statistique : Tests d'hypothèses. <https://www.math.u-bordeaux.fr/~mchabano/Agreg/ProbaAgreg1213-COURS3-Stat2.pdf>
- [4] Quandt, R. (1958). The estimation of the parameters of a linear regression system obeying two separate regimes. *Journal of the American Statistical Association*, 53, 873-880.

- [5] Bernard, A., Bosi-Levenbach, E.C. (1953). The plotting of observations on probability paper. Stat. Neerlandica, 7, 163-173.

# A Annexe : Codes

## A.1 Modèle de détection de ruptures

```
1  # -*- coding: utf-8 -*-
2
3  import numpy as np
4  import matplotlib.pyplot as plt
5  import pandas as pd
6  from scipy.optimize import minimize
7  from functools import partial
8  import warnings
9  warnings.filterwarnings("ignore")
10 from tqdm import tqdm_notebook as tqdm
11 import math
12 import datetime
13 import os
14
15 """> importation des données du CAC40"""
16
17 Liste_donnees=os.listdir(r'CAC40\DonCAC40\')
18
19 data = []
20 for i in range(len(Liste_donnees)):
21     F='CAC40/DonCAC40\''+Liste_donnees[i]
22     a = pd.read_csv(F, delimiter=',')
23     a=a[(a['Date'] >='2019-01-01')]
24     a = a.reset_index()
25     a=a.dropna() # supprimer les données manquantes
26     data.append(a[a.columns[7]])
27
28 data_time = []
29
30 for i in range(len(Liste_donnees)):
31     F='CAC40/DonCAC40\''+Liste_donnees[i]
32     a = pd.read_csv(F, delimiter=',')
33     a=a[(a['Date'] >='2019-01-01')]
34     a = a.reset_index()
35
36     a=a.dropna() # supprimer les données manquantes
37     data_time.append(a[a.columns[1]])
38
39 #La fonction Y de notre variable cible
40 def Y(data):
41     Z=[np.log(1+data[i]/data[i-1]) for i in range(1,len(data))]
42     return(Z)
43
44 """## Code méthode analytique"""
```

```

45
46 def estimationAB(X):
47
48     n=len(X)
49     hbar=np.zeros(n)
50     Ybar=np.zeros(n)
51     hbar_etoile=np.zeros(n)
52     Ybar_etoile=np.zeros(n)
53     A1_chap_nom=np.zeros(n)
54     A2_chap_nom=np.zeros(n)
55     A1_chap_denom=np.zeros(n)
56     A2_chap_denom=np.zeros(n)
57     A1_chap=np.zeros(n)
58     A2_chap=np.zeros(n)
59     B1_chap=np.zeros(n)
60     B2_chap=np.zeros(n)
61
62
63     for k0 in range(4,n-4):
64         Y=F(k0,n)
65         hbar[k0]=(1/k0)*sum(np.log(np.array(sorted(X[:k0]))))
66         Ybar[k0]=(1/k0)*sum(Y[:k0])
67         hbar_etoile[k0]=(1/(n-k0))*sum(np.log(np.array(sorted(X[k0:]))))
68         Ybar_etoile[k0]=(1/(n-k0))*sum(np.array(Y[k0:]))
69
70         #estimation des A1 B1 A2 B2
71
72         #estimation A1
73         A1_chap_nom[k0]=sum((np.log(np.array(sorted(X[:k0])))-
74
75                                     ↪ hbar[k0]))*(np.array(Y[:k0])-np.array(Ybar[k0])))
76
77         ↪ A1_chap_denom[k0]=sum((np.log(np.array(sorted(X[:k0])))-hbar[k0])**2)
78         A1_chap[k0]=A1_chap_nom[k0]/A1_chap_denom[k0]
79
80         #estimation B1
81         B1_chap[k0]=Ybar[k0]-A1_chap[k0]*hbar[k0]
82
83         #estimation A2
84         A2_chap_nom[k0]=sum((np.log(np.array(sorted(X[k0:])))-
85
86                                     ↪ hbar_etoile[k0]))*(np.array(Y[k0:])-np.array(Ybar_etoile[k0])))
87         A2_chap_denom[k0]=sum((np.log(sorted(X[k0:]))-hbar_etoile[k0])**2)
88         A2_chap[k0]=A2_chap_nom[k0]/A2_chap_denom[k0]
89
90         #estimation B2
91         B2_chap[k0]=Ybar_etoile[k0]-A2_chap[k0]*hbar_etoile[k0]
92
93     result=[A1_chap,B1_chap,A2_chap,B2_chap]

```



```

91
92     return result
93
94 def ln(x):
95     return np.log(x)
96 def MR(i,k0,n):
97     if i <= k0:
98         return (i-0.3)/(k0+0.4)
99     else :
100         return (i-k0-0.3)/(n-k0+0.4)
101
102 def F(k0,n):
103     Zt=[ ln(-ln(1-MR(i,k0,n))) for i in range(1,n+1)]
104     return Zt
105
106 #Estimation des A1 B1 A2 B2 finaux
107
108 #Fonction qui calcul K*
109 def Calcul_K_Etoile(B1,A1,B2,A2,X):
110     #Fonction qui renvoie le vecteur des Xhi_i,j(k0)
111
112     def Calcul_Vect_E(k0,n,B1_k0,A1_k0,B2_k0,A2_k0,Y,X):
113         Vect_E_k0=[]
114         for i in range(0,k0):
115             X1=sorted(X[:k0])
116             Vect_E_k0.append(Y[i]-B1_k0-A1_k0*np.log(X1[i]))
117         for i in range(k0,n):
118             X2=sorted(X[k0:])
119             Vect_E_k0.append(Y[i]-B2_k0-A2_k0*np.log(X2[i-k0]))
120         return(Vect_E_k0)
121
122 #calcul de D avec k0, n et Vect_E_k0 qui représente un vecteur de taille n,
↪ où les k0 premier éléments correspondent aux Xhi_1,i(k0)
123 #et les k0+1 à n représentent les Xhi_2,i(k0)
124
125 def Calcul_D(k0,n,Vect_E_k0):
126     D=0
127     for i in range(0,k0) :    ## i va de 0 à k0-1, donc on récupère les
↪ éléments de vect_E de i allant de 1 à k0
128         D=D+(Vect_E_k0[i])**2
129     for i in range(k0,n):
130         D=D+(Vect_E_k0[i])**2
131
132     return(D)
133
134 n=len(X)
135 D=np.zeros(n-8) #Pour avoir un vecteur D de la bonne taille
136 for i in range(4,n-4):
137     Y=F(i,n)

```

```

138         D[i-4]=Calcul_D(i,n,Calcul_Vect_E(i,n,B1[i],A1[i],B2[i],A2[i],Y,X))
139
140     k_etoile=np.argmin(D)+4
141     return k_etoile
142
143
144 def estimation_finaleAB(X):
145
146     A1=estimationAB(X)[0]
147     B1=estimationAB(X)[1]
148     A2=estimationAB(X)[2]
149     B2=estimationAB(X)[3]
150     k=Calcul_K_Etoile(B1,A1,B2,A2,X)
151
152     result=[A1[k],B1[k],A2[k],B2[k]]
153     return result
154
155 def First_Method_analytic(X):
156     [A1t,B1t,A2t,B2t]=estimationAB(X)
157     k=Calcul_K_Etoile(B1t,A1t,B2t,A2t,X)
158     [A1,B1,A2,B2]=estimation_finaleAB(X)
159     param1={"a1": math.exp(-B1/A1),"b1": A1,"a2": math.exp(-B2/A2),"b2":
        ↪ A2, "k*": k}
160     return param1
161
162 """## Code log Vraisemblance"""
163
164 #fonction qui estime le moment de rupture ainsi que les 4 parametres
165 ↪ a1,a2,b1,b2 en fonction des données ainsi estime k
166
167 def Second_Method_log_vrais(df):
168     n = len(df)
169     taille = np.infty
170     Vect0 = [1,1,1,1]
171     k = 0
172
173     #On retourne log vrai semblance de la fonction
174     def funct_2(df,k,param):
175         return funct_1(df[:k],param[:2])+funct_1(df[k:],param[2:])
176
177     def funct_1(df,param):
178         taille = len(df)
179         a1 , b1 = param[1] , param[0]
180         coef = taille*np.log(b1) - b1*taille*np.log(a1)
181         coef11 , coef21 =
            ↪ sum(np.log(np.array(df)))*(b1-1),sum((np.array(df)/a1)**b1)
182
183     return -(coef + coef11 - coef21)

```

```

184
185     for j in tqdm(range(4, n-4)):
186
187         optim = minimize(lambda x: funct_2(df, j, x), Vect0,
188             ↪ method="nelder-mead", tol=1e-10)
189         t = funct_2(df,j,optim.x)
190         if t<taille:
191             taille = t
192             k = j
193
194         #la fonction à minimiser afin de trouver les parametres optimals
195         optim1 = minimize(lambda x: funct_1(df[:k], x), Vect0[:2],
196             ↪ method="nelder-mead", tol=1e-10)
197         optim2 = minimize(lambda x: funct_1(df[k:], x), Vect0[2:],
198             ↪ method="nelder-mead", tol=1e-10)
199
200         #retourner les parametres à estimer a1,b1 ~ W1
201         #a2,b2 ~ W2
202         #ainsi le parametre k
203
204         return {"a1": optim1.x[1], "b1": optim1.x[0], "a2": optim2.x[1], "b2":
205             ↪ optim2.x[0], "k*": k}
206
207 """## Les graphes de méthode analytique + Vrai semblance"""
208
209 # tracée du cours des differentes actions de l'indice
210 def cours_action(data,date,nom_action,k1,k2):
211     #Changer ici l'indice
212     import datetime
213     start=datetime.datetime(2019,1,1)
214     end=datetime.datetime.today()
215     import matplotlib.pyplot as plt
216     fig=plt.figure(figsize=(12,6))
217     plt.gcf().subplots_adjust(bottom=0.25)
218     ax=fig.add_subplot(111)
219     ax.spines['top'].set_visible(False)
220     ax.spines['right'].set_visible(False)
221     ax.xaxis.set_ticks_position('bottom')
222     ax.yaxis.set_ticks_position('left')
223     ax.set_xlabel('Index')
224     ax.set_ylabel('Adjusted closing price')
225
226     plt.plot(data)
227
228     #Ploter deux lignes verticale des K trouvés pour les deux modèles
229     plt.vlines(k1,0, max(data)+4, colors='g',label = "k1 = "+str(k1))
230     plt.legend()

```

```

228 plt.vlines(k2, 0, max(data)+4, colors='r', linestyle= 'dashed',label =
    ↳ "k2 = "+str(k2))
229 plt.legend()
230
231
232 plt.title('Cours de l\'action %s du %s/%s/%s au
    ↳ %s/%s/%s'%(nom_action,start.day,start.month,start.year,end.day,end.month,end.year))
233 ax.yaxis.grid(True)
234 ax.xaxis.grid(True)
235 fig.autofmt_xdate() # Corriger le chevauchement
236 plt.tight_layout()
237 plt.show()
238 plt.close()
239
240 for i in range(len(Liste_donnees)):
241     print('-----')
242     print('-----')
243     F1 = First_Method_analytic(Y(data[i])) #Ici on doit changer l'indice
    ↳ pour qu'on puisse tester sur tous les bases de données
244     F2 = Second_Method_log_vrais(Y(data[i]))
245     print(F1)
246     print(F2)
247     cours_action(data[i],data_time[i],Liste_donnees[i],F1['k*'],F2['k*'])

```

## A.2 Test de Kolmogorov-Smirnov

```

1  # -*- coding: utf-8 -*-
2
3  import os
4  Liste_donnees=os.listdir('CAC40/DonCAC40/')
5  # %matplotlib inline
6
7  ##### pour tracer les graphes des données
8
9  for i in range(len(Liste_donnees)):
10     F='CAC40/DonCAC40/'+Liste_donnees[i]
11     data = pd.read_csv(F, delimiter=',')
12     data=data.dropna() # supprimer NA s'il y en a
13     data=data[data['Volume']!=0] # supprimer les données qui n'ont pas de
    ↳ sens
14     data=data[(data['Date'] >='2019-01-01')]
15     data = data.reset_index()
16
17     # sauvegarder dans un nouveau dossier "selected"
18     df = data[['AdjClose', 'Date']]
19     df.to_csv("selected/%s.csv"%Liste_donnees[i][:4], index = False)
20
21     """# Algo K-S test
22

```

```

23 ### Test homogénéité
24 """
25
26 import pandas as pd
27 import numpy as np
28 import matplotlib.pyplot as plt
29 import scipy
30 import scipy.stats
31 import random as rd
32
33 # Fonction de répartition empirique en t
34 # x échantillon ordonné
35 # cdfx fonction de répartition empirique aux points x
36 # avec fct indicatrice {X<=t}
37 def ecdf(t,x,cdfx):
38     if t<x[0]:
39         return 0
40     if t>=x[-1]:
41         return 1
42     i = 0;
43     while t>=x[i]:
44         i=i+1
45     return cdfx[i-1]
46
47 # Calcul des distances
48 # entre fct de repartition de x et fct de répartition de y
49 # aux points Z (avec Z les valeurs de x et de y ordonnées)
50 def distances(Z,x,cdfx,y,cdfy):
51     D=np.zeros(len(Z))
52     j=0;
53     for i in Z:
54         D[j] = abs(ecdf(i,x,cdfx)-ecdf(i,y,cdfy))
55         j=j+1
56     return D;
57
58 # Test de Kolmogorov-Smirnov d'homogénéité entre deux distributions
59 # On utilise l'approximation de l'article de Press et Teukolsky
60 # On calcule la p-value à une précision eps
61 def TEST_KS(X,Y,eps = 10**(-6)):
62     ## Calcul de la statistique de test
63     # Tri des données
64     x=sorted(X)
65     y=sorted(Y)
66     n=len(x)
67     m=len(y)
68
69     # Calcul des fonctions de répartition empiriques
70     cdfx = np.arange(1,n+1)/float(n)
71     cdfy = np.arange(1,m+1)/float(m)

```

```

72
73     # On rassemble les données dans Z et on les trie
74     Z=sorted(np.concatenate((X,Y),axis = None))
75
76     # Calcul des distances entre fct de répartition empiriques
77     D = distances(Z,x,cdfx,y,cdfy)
78     # On garde la plus grande distance
79     # C'est la statistique de test
80     Dmax = max(D)
81
82     ## Approximation de la p-value
83     k= np.sqrt(n*m/(n+m))
84     # Calcul du nombre de termes à sommer pour une précision de eps
85     N = np.sqrt(np.log(eps)/(-2*(Dmax*k)**2))
86     i = np.arange(1,N)
87     # Calcul de l'approximation de la p-value
88     p = sum(-2*((-1)**i)*np.exp(-(2*i**2)*((Dmax*k)**2)))
89
90     # # On renvoie Dmax et pvalue
91     # return 'my_KS_Result(statistic=',Dmax, 'pvalue=', p
92     return p
93
94 # Algo test KS qui prend en compte de l'ensemble de données et le point de
95 ↪ rupture
96 def my_KS(Z,K):
97     X = Z[np.arange(0,K)]
98     Y = Z[np.arange(K,len(Z))]
99     return TEST_KS(X,Y)
100
101 """"## Exemples d'Applications""""
102
103 # Exemple test avec des petits échantillons
104 X=np.array([13,4,5,17,6,3,1,15])
105 Y=np.array([2,7,8,9,10,6.5])
106 TEST_KS(X,Y)
107
108 Z=np.concatenate((X,Y),axis=None)
109 K=len(X)
110 my_KS(Z,K) # même valeur que TEST_KS(X,Y), donc c'est bon
111
112 scipy.stats.ks_2samp(X,Y)
113 # Normal que ce ne soit pas la même p-value.
114 # notre p-value est approchée pour des n et m grands (m,n tailles
115 ↪ d'échantillons des deux cotés de la rupture)
116 # Python utilise la loi exacte quand n et m petits
117
118 # Deux échantillons relativement grands

```

```

119 X = scipy.stats.norm.rvs(size=100, loc=0., scale=1)
120 Y = scipy.stats.norm.rvs(size=200, loc=0.5, scale=1)
121 Z=np.concatenate((X,Y),axis=None)
122 K=len(X)
123 my_KS(Z,K)
124
125 scipy.stats.ks_2samp(X,Y)
126
127 my_KS(Z,298) # trouver le k qui maximise "statistics"
128
129 """# Les ruptures trouvées"""
130
131 k_maxim = [300 , 292 , 292 , 292 , 287 , 292 , 292 , 296,
132           403 , 302 , 290 , 292 , 329 , 266 , 476 , 295,
133           357 , 480 , 5 , 472 , 368 , 365 , 478 , 368,
134           211 , 285 , 292 , 475 , 486 , 300 , 477 , 581,
135           516 , 371 , 292 , 295 , 542 , 486 ]
136 len(k_maxim)
137
138 k_anlyt = [ 302 , 300 , 292 , 298 , 284 , 203 , 302 , 271
139           , 402 , 302 , 301 , 298 , 328 , 266 , 476 , 301
140           , 357 , 480 , 5 , 341 , 372 , 364 , 477 , 364
141           , 211 , 285 , 491 , 489 , 302 , 305 , 477 , 587
142           , 300 , 290 , 301 , 295 , 687 , 340 ]
143 len(k_anlyt)
144
145 filenames =
146     ↪ ["ACA.PA.csv", "AC.PA.csv", "AI.PA.csv", "AIR.PA.csv", "ALO.PA.csv", "BN.PA.csv",
147
148     ↪ "BNP.PA.csv", "CA.PA.csv", "CAP.PA.csv", "COFA.PA.csv", "CS.PA.csv", "DGM.PA.csv",
149
150     ↪ "DG.PA.csv", "EDF.PA.csv", "EN.PA.csv", "GLE.PA.csv", "HCMLF.csv", "HO.PA.csv",
151
152     ↪ "IDL.PA.csv", "IPN.PA.csv", "KER.PA.csv", "LR.PA.csv", "MC.PA.csv", "ML.PA.csv",
153
154     ↪ "ORA.PA.csv", "OR.PA.csv", "PUB.PA.csv", "RI.PA.csv", "RNO.PA.csv", "SAF.PA.csv",
155
156     ↪ "SAN.PA.csv", "SEV.PA.csv", "SGO.PA.csv", "SU.PA.csv", "TTE.PA.csv", "VIE.PA.csv",
157     ↪ "VIV.PA.csv", "VK.PA.csv"]
158 len(filenames)
159
160 """# Réalisation du test K-S sur les ruptures trouvés"""
161
162 def py_KS(Z,K):
163     X = Z[np.arange(0,K)]
164     Y = Z[np.arange(K,len(Z))]
165     return scipy.stats.ks_2samp(X,Y)
166
167 """## Test du modèle max de vraisemblance

```

```

162
163 """
164
165 for i in range(len(filenamees)):
166 # for i in range(2):
167     F='selected/'+filenamees[i]
168     data = pd.read_csv(F, delimiter=',')
169
170     print(my_KS(data['AdjClose'],k_maxim[i]))
171     # print(py_KS(data['AdjClose'],k_maxim[i]))
172
173 """"## Test du modèle analytique
174
175 """
176
177 # test analytique
178
179 for i in range(len(filenamees)):
180 # for i in range(2):
181     F='selected/'+filenamees[i]
182     data = pd.read_csv(F, delimiter=',')
183
184     print(my_KS(data['AdjClose'],k_anlyt[i]))
185     # print(py_KS(data['AdjClose'],k_anlyt[i]))

```